

**Universitatea Bucuresti**  
– Facultatea de Fizica –



# **Particularitati ale tranzitiei metal-semiconductor in sisteme dezordonate q-2D**

Autor: Cristina S. Besleaga

Coordonatori:  
**Conf. Dr. Ion Lucian**  
**Prof. Dr. Stefan Antohe**  
**Dr. CS. II Magdalena Nistor**

- Iunie 2010 -



# Cuprins

1. Introducere.....	5
2. Notiuni teoretice .....	7
2.1 Localizarea Anderson. Prag de mobilitate.....	7
2.2 Teoria de scala a localizării .....	13
2.3 Localizarea slaba (WL).....	18
2.4 Corectia de localizare slaba .....	20
2.5 Lungimea de cutoff .....	29
3. Rezultate experimentale si discutii.....	31
3.1 Proprietatile fizice ale oxidului de zinc .....	31
3.2 Transport in camp electric mic .....	32
3.3 Metoda de depunere .....	35
3.4 Metode de investigare .....	37
3.4.1. Rutherford Backscattering Spectrometry (RBS) .....	37
3.4.2. Difracție de raze X (XRD).....	39
3.4.3. Masuratori electrice .....	44
4. Concluzii.....	51
5. Bibliografie.....	52

## **Multumiri**

Pe parcursul realizarii acestei lucrari am beneficiat de sprijinul permanent al domnului Conf.Dr. Ion Lucian, conducatorul stiintific principal al tezei mele de dizertatie.

Doresc sa ii aduc pe aceasta cale sincere multumiri pentru ajutorul si sprijinul acordat, si mai ales pentru atentia, implicarea si indrumarea oferita in definirea modului logic de documentare, organizare si constructie specific studiului stiintific.

Domnului Prof.Dr. Stefan Antohe ii multumesc pentru increderea, atentia, dedicatia si sprijinul acordat atat in realizarea prezentei lucrari de dizertatie cat si in dezvoltarea mea profesional-stiintifica de pana acum.

Multe multumiri doamnei Dr. Magdalena Nistor pentru sprijinul oferit pe parcursul elaborarii acestei lucrari de dizertatie.

# 1. Introducere

Nevoia de a reduce dimensiunea componentelor electronice a condus la fabricarea unor dispozitive de scala mezoscopica, introducand astfel fizica cuantica in domeniul electronicii aplicate. Fizica mezoscopica este domeniul ce studiaza sisteme cu dimensiuni intermediare, intre microscopic si macroscopic. Sistemele mezoscopice au un comportament strict legat de efectul cuantic de interferenta, lungimea de scala relevanta in astfel de sisteme fiind lungimea de coerenta de faza. Aceasta este distanta de-a lungul careia purtatorii de sarcina pastreaza informatia despre propria lor faza cuantica. Astfel, fenomene mezoscopice pot fi observate intr-un domeniu larg de dimensiuni, de la nanometrii pana la microni- in cazul structurilor semiconductoare cu o mobilitate foarte mare.

O serie de fenomene legate de sistemele mezoscopice au fost descoperite de-a lungul timpului cum sunt cuantificarea conductantei sau localizarea slabă.

Acesta teza isi propune studiul fenomenelor de transport in sisteme dezordonate, in particular, in sisteme quasi-bidimensionale (q-2D) dezordonate.

In prima parte a lucrarii sunt dezvolate probleme precum localizarea Anderson, consecinte ale dimensionalitatii sistemelor, teoria de transport Landauer, localizarea slabă, corectia conductivitatii pentru localizarea slabă, efectul campului magnetic asupra proprietatiilor de transport ale sistemului. Teza nu se rezuma doar la notiuni teoretice ci, contine si o parte experimentală in care au fost puse in evidenta proprietatile de transport ale unor straturi subtiri de oxid de zinc obtinute prin metoda de depunere cu fascicul pulsat (PED).

Pentru a studia transportul in sisteme dezordonate, diferite metode teoretice au fost elaborate de-a lungul timpului, incepand cu cea de tip tight-binding.

Dintre rezultatele obtinute, doua sunt foarte importante pentru subiectul acestei lucrari

1. Interactia electron-electron duce la despicierea benzii in care nivelele ocupate si cele libere devin separate de o banda interzisa ( tranzitie Mott ).
2. Interactia electron-electron duce la despicierea benzii in care nivelele ocupate si cele libere devin separate de o banda interzisa ( tranzitie Mott ).
3. Fluctuatia potentialul centrilor de impuritati conduce la localizarea starilor electronice din apropierea acestora ( tranzitie Anderson ).

Trebuie subliniat ca principala diferență dintre modelul Mott și cel propus de Anderson este aceea că în cazul Anderson tranzitia este indusa de dezordinea sistemului iar în cazul Mott

aceasta are loc chiar si intr-o structura periodica perfecta. Acelasi efect rezulta si din dezordinea spatiala a configuratiei centrilor (modelul Lifshitz).

O importanta deosebita in tratarea proprietatiilor de transport ale unui sistem o are stabilirea lungimilor de scala pertinente.

1. Cea mai evidenta dintre ele este dimensiunea probei,  $L$ , unde  $L_x, L_y, L_z$  pot avea valori diferite.

2. Lungimea de unda Fermi.  $\lambda_F = \frac{h}{\sqrt{2mE_F}}$  (ec. 1)

3. Drumul liber mediu,  $l_m$ . Este distanta medie pe care un electron o parcurge pana a suferii un proces de imprastiere. Intr-un sistem perfect, nedeordonat,  $l_m=L$ . Timpul

$$\text{intre doua imprastieri este numit timp de relaxare, } \tau_e, \text{ unde } \tau_e = \frac{l_e}{v_F} \quad (\text{ec. 2})$$

4. Lungimea de coerenta de faza,  $l_\phi$ . Este distanta pe care un electron o parcurge inainte de a i se schimba faza. Aceasta lungime de scala este extrem de importanta in descrierea fenomenelor de interferenta.

In functie de raportul dintre lungimile de scala putem definii mai multe regimuri de trasport:

- Transport Balistic,  $L \ll l_m, l_\phi$ 
  - nu exista imprastieri;
  - cand  $\lambda_F \sim L$ : efecte de cuantificare
- Regim difuziv,  $L > l_m$ 
  - au loc procese de imprastiere elastica
- o Transport adiabatic,  $l_m \ll l_\phi \ll L$ 
  - la temperaturi joase,  $R \sim \exp(L)$  datorita interferentelor cuantice
- Regim clasic (incoherent)
  - rezistenta ohmica

## 2. Notiuni teoretice

### 2.1 Localizarea Anderson. Prag de mobilitate.

Un sistem dezordonat este traditional descris cu ajutorul undelor Bloch si imprastirea acestora pe impuritati. In metale, aceasta duce la ecuatia lui Boltzmann pentru cvasiparticule; la temperaturi joase poate fi scris:

$$\rho(T) = \rho_0 + AT^n \quad \text{si} \quad \sigma(T) = \sigma_0 - A\sigma_0^2 T^n \quad (\text{ec. 3})$$

Unde  $\sigma_0$  este conductivitatea datorata imprastierii pe impuritati. Numarul imprastierilor creste odata cu temperatura datorita excitatiei fononilor sau a ciocnirilor electron-electron, deci A este pozitiv iar n este un intreg pozitiv, de obicei,  $n \geq 2$  (n=2 daca imprastierile electron-electron predomina). Pe de alta parte, daca dezordinea este puternica atomii proprii sistemului si impuritatile vor ocupa aleatoriu pozitiile retelei. In acest caz, se impune o periodicitate medie si apoi se aplica conceptele familiare pentru sisteme ordonate. Aproximativa potentialului coherent (CPA) (Elliott, Krumhansl, and Leath, 1974) este un exemplu pentru acest tip de abordare.

Astazi stim ca ecuatia 3 nu se aplică în cazul sistemelor dezordonate. Empiric s-a constatat că A poate fi atât pozitiv cât și negativ, iar n este de obicei 1/2 pentru sistemele tridimensionale.

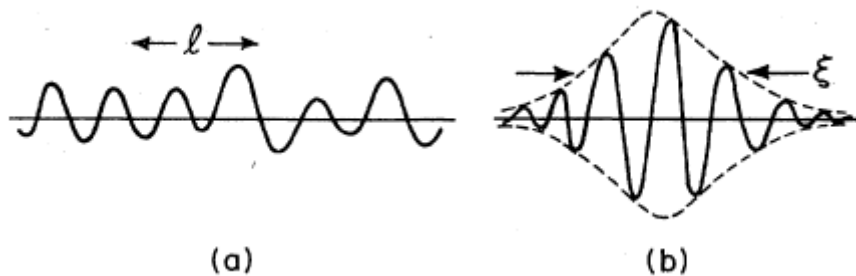
Anderson a fost printre primii ce au încercat să formuleze o teorie cu ajutorul careia să se poată explica transportul în sisteme dezordonate.

Din punctul de vedere clasic, într-un sistem dezordonat, din cauza imprastierilor, undele Bloch își pierd coerența de fază după ce parcurg o distanță data ramanând extinse în sistem. Această distanță este numită drum liber mediu.

În 1958, Anderson a demonstrat că într-un sistem puternic dezordonat funcțiile de undă pot deveni localizate, anvelopa acestora scăzând exponential cu cat se deparează de centrul imprastietor.

$$|\Psi(r)| \approx \exp(|r - r_0|/\xi) \quad (\text{ec. 4})$$

unde  $\xi$  este lungimea de localizare



*Figură 1. a) drumul liber mediu (stari extinse); b) lungimea de localizare (stari localizate).*

Desi, de-a lungul timpului, un volum mare de munca a fost depus in jurul acestei teorii inca nu exista o buna descriere matematica a ei.

Modelul Anderson subliniaza urmatoarele idei:

1. In descrierea de ordinul zero, functiile de unda pot fi localizate datorita fluctuațiilor mari ale potențialului.
2. Suprapunerea orbitalilor este exponential mica datorita diferenței energetice mari, deci, intr-un astfel de sistem nu va exista o stare extinsa creeata printr-o combinatie liniara de infinit de multi orbitali localizati.
3. In cazul unui cristal cu o concentratie data de impuritati similar se poate vorbi despre „banda de impuritati”. Aceasta difera de banda unui cristal prin aceea ca functia de unda a electronului din apropierea unui centru de impuritate ramane localizata.

Presupunem ca impuritatiiile sunt asezate intr-o retea regulata insa energia din fiecare pozitie este alta (fig. 2).



*Figură 2. Modelul Anderson. Gropile de potential.*

Hamiltonianul sistemului descris va fi:

$$H = \sum_j \varepsilon_j a_j^+ a_j + \sum_{j,m \neq 0} t_{j,m} a_j^+ a_{j+m} \quad (\text{ec. 5})$$

Unde  $\varepsilon_j$  este deviatia nivelului electronic, in pozitia j, de la valoarea medie;  $t_{j,m}$  este functia de transmisie/tranzitie,  $t_{j,m} = I \cdot \delta_{i,j+1}$  unde I este integrala de suprapunere. Operatorii  $a_j$  si  $a_j^+$  descriu anihilarea, respectiv crearea unei particule pe nodul j.

$$\Psi(r + r_j) = \Psi(r) e^{ikr_j} \quad (\text{ec. 6})$$

$$a_j = \tilde{N}^{-1/2} \exp(ikr_j) \quad (\text{ec. 7})$$

unde  $\tilde{N}$  este numarul total de locuri a retelei de impuritati.

$$a_j = \sum_k e^{i\vec{k}\vec{R}_i} a_k$$

$$a_j^+ = \sum_k e^{-i\vec{k}\vec{R}_i} a_k^+$$

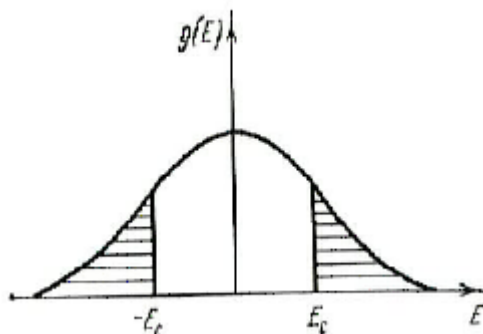
$$t_{j,m} = I \cdot \delta_{i,j+1} \quad (\text{ec. 8})$$

$$e^{i(\vec{k}_1 - \vec{k}_2)\vec{R}_i} = N\delta_i$$

$$\begin{aligned} \sum_j \varepsilon_j a_j^+ a_j &= \sum_j \varepsilon_j \sum_{k_1 k_2} e^{i(\vec{k}_1 - \vec{k}_2)\vec{R}_i} a_{k_2}^+ a_{k_1} = \sum_{k_1 k_2} a_{k_2}^+ a_{k_1} \sum_j \varepsilon_{at} e^{i(\vec{k}_1 - \vec{k}_2)\vec{R}_i} = \sum_{k_1} N \varepsilon_{at} a_{k_2}^+ a_{k_1} \\ \sum_{j,m \neq 0} t_{j,m} a_j^+ a_{j+m} &= \sum_{j,m \neq 0} t_{j,m} \sum_{k_1} e^{-i\vec{k}_1\vec{R}_j} a_{k_1}^+ \sum_{k_2} e^{-i\vec{k}_2\vec{R}_m} a_{k_2} = \sum_{k_1 k_2} a_{k_1}^+ a_{k_2} \sum_{j,m \neq 0} t_{j,m} e^{i(\vec{k}_2\vec{R}_m - \vec{k}_1\vec{R}_j)} e^{i\vec{k}_2\vec{R}_j} e^{-i\vec{k}_2\vec{R}_j} \\ &= \sum_{k_1 k_2} a_{k_1}^+ a_{k_2} \sum_{j,m \neq 0} t_{j,m} e^{i\vec{k}_2(\vec{R}_m - \vec{R}_j)} e^{i(\vec{k}_2 - \vec{k}_1)\vec{R}_j} = \sum_{\vec{k}_j} a_{\vec{k}_j}^+ a_{\vec{k}_j} \sum_{\Delta} t_{j,m} e^{i\vec{k}_j\vec{\Delta}} \end{aligned}$$

$$H = \sum_{\vec{k}_j} (\varepsilon_{at} + \sum_{\Delta} t_{j,m} e^{i\vec{k}_j\vec{\Delta}}) \cdot a_{\vec{k}_j}^+ a_{\vec{k}_j} \quad (\text{ec. 9})$$

Modelul Anderson aduce un parametru definitoriu pentru descrierea fenomenelor legate de dezordinea in sistem; acesta este  $W/I$  unde W este un interval in care energia este uniform distribuita.



*Figură 3. Distributia desitatii de stari in functie de energie.*

Se poate observa ca exista o valoare critica a raportului  $W/I$  de la care incep sa apară stari extinse în mijlocul benzii. Zonele hasurate din figura 3 corespund regiunilor localizate. Acestea sunt date de centrii imprastietori cu fluctuatii mari de energie foarte departati unul fata de celalalt. Prezenta acestei mici densitati de stari la marginea benzii favorizeaza localizarea electronilor in aceasta regiune.

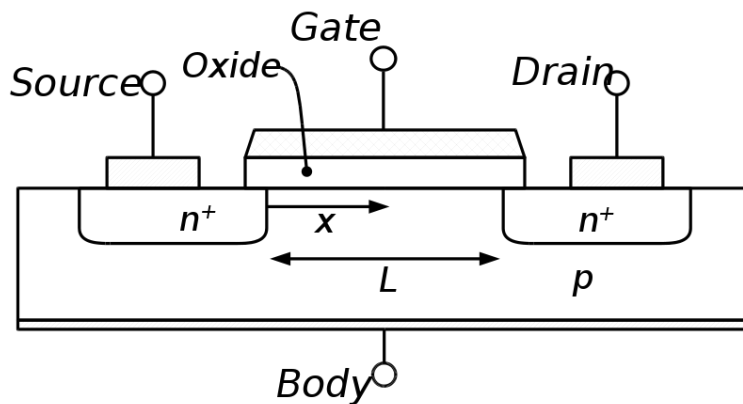
Pentru valori mai mari ale raportului  $W/I$  fata de valoarea critica,  $(W/I)_C$ , toate starile sunt localizate. La valori mici decat  $(W/I)_C$  starile delocalizate devin predominante, ocupand aproape intreaga banda.  $E_C$  si  $-E_C$  sunt energii critice asociate pragului de mobilitate.

Daca nivelul Fermi este in regiunea localizata transportul de sarcina, la temperaturi joase, are loc fie datorita activarii termice, fie datorita saltului (hopping) de pe o stare ocupata pe una neocupata de energie apropiata. La temperaturi mici, ambele mecanisme conduc la o dependenta exponentiala a conductivitatii electrice de temperatura (energia de activare scade cu temperatura). Daca starile nu sunt strict localizate, miscarea electronilor in camp electric aplicat poate fi posibila fara activare termica. La temperaturi suficient de joase acest mecanism de transport este favorabil, iar conductivitatea electrica nu va mai depinde de temperatura.

Pentru semiconductoare puternic dopati, la  $T \rightarrow 0$ , conductivitatea nu este zero insa tinde la o limita finita. Acest tip de conductie este denumita metalica. Trebuie mentionat ca conductivitatea electrica a unui semiconductor dopat este cu ordine de marime mai mica decat cea a unui metal obisnuit, termenul „metalic” reflectand doar limita finita a conductivitatii cand  $T \rightarrow 0$ .

Tranzitia de la transport activat termic la o conductie metalica este numita tranzitie Mott-Anderson.

Modelul Anderson poate fi în mod convenabil testat în cazul structurilor semiconductoare-metal-izlator (MIS). Acest tip de structuri multistrat pot fi realizate dintr-un film de dioxid de siliciu (izolator) așezat între un strat de siliciu (semiconductor) și un electrod metalic. Potențialul electrostatic al metalului conduce la o redistribuire a sarcinii în semiconductor astfel încât pe suprafața semiconductorului apare un strat încărcat cu purtatori de semn opus majoritari din materialul bulk. Concentratia de purtatori din stratul de inversie poate fi variată cu aplicarea unui camp electric, astfel fiind variată, într-un domeniu foarte larg, conductivitatea stratului de la suprafața. Una din aplicațiile acestui efect este tranzistorul cu efect de camp (FET).



*Figură 4. MOSFET de tip n (Metal-Oxid-Semiconductor-Tranzistor cu efect de camp) în secțiune.*

Stratul de inversie este un sistem bidimensional într-un potential fluctuant datorat impuritatilor din stratul dielectric. Acest tip de potential produce localizarea purtatorilor de sarcină (localizare tip Anderson). La concentrații mici de purtatori în stratul de inversie conductivitatea este activată termic. În acest caz nivelul Fermi este în regiunea localizată, transportul de sarcină realizându-se prin salt (hopping). Dacă concentrația de purtatori crește, nivelul Fermi se deplasează într-o regiune cu stări delocalizate (sau slab localizată), iar conductivitatea devine slab dependentă de temperatură.

Când nivelul Fermi trece dintr-o regiune delocalizată într-o regiune localizată conductivitatea la  $T=0$  trebuie să dispare. Trecerea la o conductivitate nula (în sistemele bi- și tri-dimensionale) se face abrupt sau gradual?

In 1960, Ioffe și Regel au evidențiat că drumul liber mediu nu poate fi mai mic decât lungimea de undă Broglie. Mott a dezvoltat conceptul de conductivitate metalică.

Dacă dezordinea în sistem este mică, conductivitatea poate fi descrisă prin formula lui Drude (considerăm un sistem tridimensional degenerat):

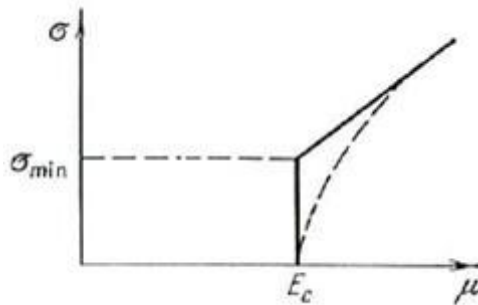
$$\sigma = \frac{e^2 k_F^2 l}{3\pi^2 \hbar} \quad (\text{ec. 10})$$

Unde  $l$  este drumul liber mediu care scade odata cu cresterea dezordinii in sistem insa nu poate fi mai mic decat lungimea de unda Broglie. Astfel, conductivitatea nu poate fi mai mica decat o conductivitate minima ce poate fi estimata substituind  $k_F l \approx 1$  in ecuatia e10.

$$\sigma_{\min}^{3D} = C_3 \frac{e^2}{\hbar l_{\min}} \quad (\text{ec. 11})$$

Unde  $l_{\min}$  este cel mai scurt drum liber mediu posibil. In modelul Anderson cu jumatare de banda plina  $l_{\min}$  coincide cu  $a$ , constanta de retea, in timp ce in modelul Mott pentru semiconductori dopati,  $l_{\min}$  reprezinta dintanta medie dintre impuritati. Mott a estimat ca  $C_3$  poate lua valori intre 0.025 si 0.05, deci  $\sigma_{\min} = 610/l_{\min}$  ( $\Omega^{-1}\text{cm}^{-1}$ ).

Mott afirma ca la  $T=0$  conductivitatea trebuie sa fie fie mai mare decat  $\sigma_{\min}$ , fie sa fie egala cu zero.



Figură 5. Ilustrarea schematica a pragului de mobilitate,  $E_c$ , ce separa starile localizate de cele delocalizate.

Conceptul conductivitatii minime a fost extins pentru doua dimensiuni, unde:

$$\sigma_{\min}^{2D} \approx 0.1 \frac{e^2}{\hbar} \quad (\text{ec. 12})$$

Se poate observa ca parametrul de lungime  $a$  este absent din ultima relatie, fiind astfel de asteptat ca valoarea lui  $\sigma_{\min}$  pentru sisteme 2D sa fie universală.

In 1976, Mott a ajuns la concluzia ca teoria din spatele tranzitiei discontinuie a conductivitatii poate fi gresita deoarece nu s-a luat in calcul influenta fluctuatiiei potentialului asupra sistemului electronic. In 1979 noi studii teoretice ce pun sub semnul intrebarii teoria conductivitatii metalice minime au aparut.

Teoria de scala a localizarii este una dintre acestea, urmand a fi detaliata in sectiunea urmatoare. Aceasta teorie prezice ca la  $T=0\text{K}$ , tranzitia metal-izolator este continua in

sistemele tridimensionale si ca toate starile sunt localizate in sistemele bidimensionale oricat de putin dezordonate ar fi.

Wegner (1976) a dezvoltat teoria de scala a localizarii folosind notiunea de punct critic. El a constatat ca teoria de scala descrisa de Thouless [11] este reala doar daca tranziția metal-izolator este continua, astfel incat:

$$\sigma(T=0) = (E - E_c)^\mu \quad (\text{ec. 13})$$

unde  $E_c$  este pragul de mobilitate si  $\mu$  este exponentul critic.

De asemenea, este evident ca  $d=2$  este o dimensiune marginala pentru ca in cazul bidimensional conductivitatea are aceeași dimensiune ca si conductanța. Aceste idei au fost dezvoltate in continuare cu ajutorul teoriei de perturbație (Abrahams, Anderson, Licciardello si Ramakrishnan, 1979).

## **2.2 Teoria de scala a localizării**

La mijlocul anilor șaptezeci, Thouless si colaboratorii săi au formulat intr-o serie de lucrări stiincifice problema localizării electronilor [11].

Noua teorie sustine ca nu conductivitatea, ci conductanta sistemului,  $g$ , este aceea ce are o valoare critica. Conductanta,  $g$ , este o masura a dezordinii din sistem fiind mica daca

$$\text{dezordinea este mare si invers. } G = g \cdot \frac{e^2}{\hbar} \quad (\text{ec. 14})$$

Daca dimensiunea liniara a sistemului este suficient de mare, conductanta poate fi legata de conductivitate prin expresia urmatoare:  $G = L^{d-2} \sigma$  (ec. 15)

Unde  $L$  este latura unui hipercub si  $d=1,2,3$  exprima dimensionalitatea sistemului.

Teoria de scala are la baza urmatorul postulat: daca construim un hipercub cu latura  $2L$  din hipercuburi cu dimensiunea  $L$ , atunci  $g(2L)$  este unic determinata de  $g(L)$ .

Pare rezonabil că natura funcțiilor de unda ale probei  $(2L)^d$  va dictată de natura stărilor din proba  $L^d$ , insa se pune intrebarea „la cati parametri ne putem rezuma pentru descrierea sistemului? „,

I este de ordinul energiei sifrate datorita schimbarii conditiilor de margine pentru cubul initial. In continuare vom estima I pentru starile delocalizate, precum si pentru cele a caror raza de localizare este mai mare decat L. Un electron acopera distanta L intr-un timp  $\tau$ , unde

$$\tau = \frac{L^2}{D} \quad (\text{ec. 16})$$

$$D \text{ este coeficientul de difuzie, } D = \frac{\sigma}{e^2 d_s} \quad (\text{ec. 17})$$

$$I \approx \frac{\hbar}{\tau} \approx \frac{\hbar D}{L^2} \quad (\text{ec. 18})$$

W este de ordinul  $(N_0 L^d)^{-1}$  unde  $N_0$  este densitatea de stari.

Astfel, parametrul unic cu ajutorul caruia se poate descrie natura functiilor de unda, I/W, capata forma:

$$\frac{I}{W} \approx \frac{\hbar \sigma}{e^2} L^{d-2} \quad (\text{ec. 19})$$

Dupa cum se poate observa din ecuatia 19, marimea masurabila fizic,  $G/(e^\epsilon / \hbar)$ , este liniar dependenta de I/W.

Teoria de scala incearcă sa explice fenomenul localizarii prin asocierea comportamentului conductantei, g, cu lungimea de scala a sistemului, L.

Daca starile din apropierea nivelului Fermi sunt localizate transportul electronic are loc datorita fenomenului de salt (hopping) de pe o stare ocupata pe una neocupata de energie apropiata. Insa, asa cum am mai mentionat, distanta dintre doua starile localizate de energii egale sau aproximativ egale este foarte mare, astfel incat elementul de matrice corespunzator hoppingului este exponential mic, iar paramentru de scala relevant devine lungimea de localizare,  $\xi$ .

Atunci cand lungimea de localizare este mai mare decat drumul liber mediu, pentru  $L \gg \xi$ :

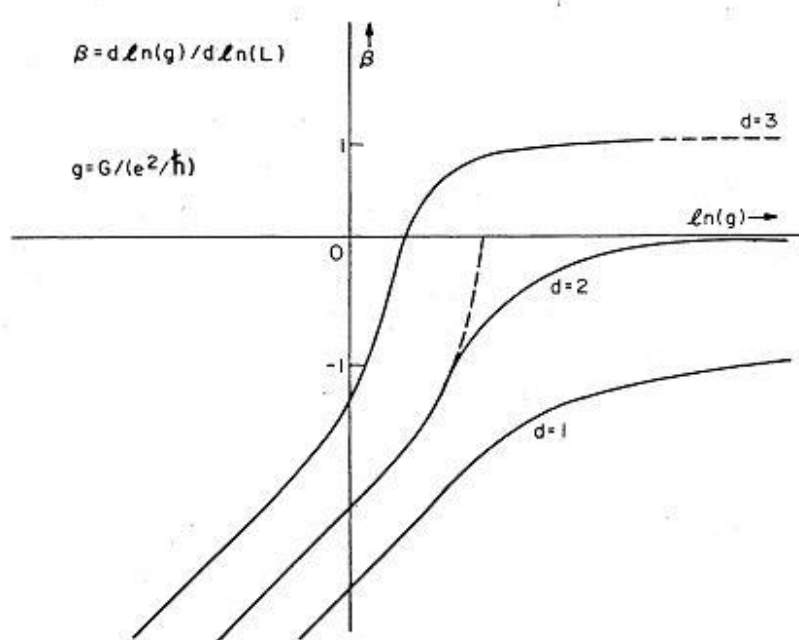
$$g(L) \approx \exp(-L/\xi) \quad (\text{ec. 20})$$

In sisteme unidimensionale toate starile sunt localizate, cu o lungime de localizare de ordinul drumului liber mediu (Mott si Twose, 1961).

### Functia de scala

Abrahams, Anderson, Licciardello si Ramakrishnan (1979) au argumentat ca functia de scala,  $\beta(g) = \frac{d \ln g}{d \ln L} = \frac{L}{g} \frac{dg}{dL}$  este unic determinata de  $g$ .  $\beta(g)$  descrie cum conductanta unui sistem finit evolueaza functie de dimensiunea de scala.

Functia de scala,  $\beta(g)$ , pentru cazurile  $d=1,2,3$  este reprezentata in functie de conductanta  $g$ , in fig de mai jos:



Figură 6. Functia de scala.

#### a. 3D (sistem tridimensional)

Din reprezentarea grafica a functiei de scala se poate observa ca sistemul tridimensional poate trece prin doua regimuri de transport diferite. Punctul prin care  $\beta(g)$  trece prin zero este un punct critic instabil.

Punctul critic este definit prin  $\beta(g)=0$ ,  $g_0=g_3$ .

a. conductanta mare  $g \gg g_c$ ;  $I/W \gg 1$ .

unde  $g_c$  este conductanta adimensionala caracteristica de ordinul  $\pi^2$ . In acest regim legea lui Ohm (ec.3) este valabila. Aceasta duce la forma simptotica

$\beta(g)=(d-2)$  pentru  $g \gg g_c$ .

b. conductanta mica  $g \ll g_c$ ;  $I/W \ll 1$ .

Starile electronice sunt localizate deci dependenta de scala este descrisa de ecuatia 20. Astfel:

$\beta(g) = \ln(g/g_c)$ . Atunci cand  $\beta(g)$  este negativa g descreste cu cresterea lungimii de scala.

$g_0$  este conductanta unui sistem in care electronii sunt transportati cu energia Fermi,  $E_F$ .

Daca dezordinea este mentinuta constanta si se variaza energia Fermi,  $g_0$  se modifica usor si pentru  $E_F=E_c$  (energia pragului de mobilitate).

$(g_0 - g_3) = (E_F - E_C)g_0'$ , unde  $g_0' = (dg_0/dE_F)$  la  $E_F = E_C$

Astfel, pentru a studia comportamentul critic din regiunea pragului de mobilitate trebuie sa aplicam teoria de scalare pentru valori ale lui  $g_0$  apropiate de  $g_3$ .

Presupunem ca  $\beta(g)$  are o panta  $(1/v)$  in apropierea punctului  $\beta(g)=0$ :

$$\beta(g) = \frac{1}{v} \left( \frac{g - g_3}{g_3} \right) = \frac{\delta g}{v} \quad \text{pentru } \delta g \ll 1, \text{ unde } \delta g \text{ este abaterea lui } g \text{ fata de } g_3.$$

Pentru  $\delta g > 0$

$g(L) = \sigma L \quad \text{unde}$

$$\sigma = (A g_3 / l) (\delta g)^v \quad (\text{ec. 21})$$

Unde A este o constanta iar  $v$  este exponentul critic al conductivitatii.  $v$  poate fi calculat cu ajutorul teroriei perturbative ce este corecta pentru dimensiuni spatiale  $(2+\epsilon)$  cu  $\epsilon$  mic iar  $v=\epsilon^{-1}$ .

Pentru  $\delta g > 0$

Lungimea de corelatie  $\xi$  (raza de localizare) poate fi extrasa din ultima ecuatie:

$$\sigma = g_3 / \xi \quad \text{unde } \xi = \left( \frac{1}{A} \right) (\delta g)^{-v} \quad (\text{ec. 22})$$

Conductia este non-Ohmica pentru  $L$  mai mic decat  $\xi$  si Ohmica cu  $\sigma = g_3 / \xi$  (ec. 23)

pentru  $L$  mai mare decat  $\xi$ .

Pentru  $\beta(g) < 0$ ,  $\delta g$  are valori negative mici, tremem in regimul localizat unde:

$$g(L) = g_3 \exp\left(-B|\delta g|^v L/l\right) \quad (\text{ec. 24})$$

unde B este o constanta.

$$\xi = \left( \frac{1}{B} \right) (\delta g)^{-v} \quad (\text{ec. 25})$$

## b. 2D (sistem bidimensional)

Asa cum rezulta din teoria de scala,  $\lim_{L \rightarrow \infty} G = 0$ . Pentru sistemele bidimensionale fara

interactii, la  $T=0K$ , intotdeauna  $\beta(g) < 0$  deci va exista doar regim localizat.

Teoria prezice ca in sistemele 2D nu exista stari extinse indiferent cat de mare este lungimea de scala, chiar si pentru sisteme cu o dezordine microscopica foarte mica.

$$(d \ln g / d \ln L) = -a/g$$

$$g(L) = g_0 - \frac{e^2}{\hbar \pi^2} \ln \left( \frac{L}{l} \right) \quad (\text{ec. 26})$$

Lungimea de localizare estimata este:

$$\xi_{loc}^{(2)} \approx l \exp \left( k \pi^2 g_0 / e^2 \right) = l \exp \left( \frac{\pi}{2} k_F l \right) \quad (\text{ec. 27})$$

Lungimea de localizare depinde exponential de drumul liber mediu, astfel efectele localizarii sunt dificil de observat experimental in cazul unei dezordini slabe.

O consecinta a ecuatiei 3 este ca pentru orice lungime de scala sistemele bidimensionale au un comportament non-Ohmic.

Daca materialul studiat are conductanta,  $G_D$ , calculata cu ajutorul formulei lui Drude, mai mare decat unitatea (ceea ce implica un drum liber mediu,  $l$ , mare) atunci, pentru valori nu foarte mari ale lui  $L$  putem trata dezorinea perturbativ. Astfel:

$$G = G_D - \alpha \ln \frac{L}{l} \quad (\text{ec. 28})$$

Unde  $\alpha$  este un coeficient numeric, iar  $G_D = k_F l / \pi$ . Ecuatia 4 poate fi aplicata doar daca al doilea termen este mai mic decat primul. Acesta este cazul in care materialul studiat este un foarte bun metal, efectul localizarii in sisteme bidimensionale fiind realizabil doar pentru un  $L$  foarte mare al filmului,  $L \approx l \exp(G_D \alpha)$ . Daca masuram conductivitatea intr-un camp ac de frecventa  $\omega$ , atunci pentru o proba infinita conductanta va avea forma:

$$G = G_D - \alpha \ln \frac{1}{\omega \tau} \quad (\text{ec. 29})$$

Unde  $\tau$  este timpul de relaxare. Deci, conductanta scade exponential la frecvente mici,  $\omega \approx \tau^{-1} \exp(-G_D / \alpha)$ . Astfel, pentru structurile bidimensionale realizate din metale foarte bune putem vorbi doar despre o localizare slaba (WL). Fizic, in sistemele bidimensionale localizarea apare datorita interferentei undelor in urma mecanismelor de imprastiere.

In cazul uneidezordini slabe,  $k_F l \ll 1$ , este posibil sa se aduca o corectie la teoria de transport Boltzmann pentru  $\sigma$  folosind teoria de perturbatie diagramatica.

$$\beta(g) = (d-2) - a/g \quad (\text{ec. 30})$$

Pentru un gaz de electroni (gaz Fermi)  $a = g_c = (\pi^2)$ . Deci  $\beta(g)$  va fi intotdeauna mai mica decat in legea lui Ohm, astfel conductia in sisteme dezordonate nu este niciodata pur Ohm-ica.

Este important de precizat ca interferenta undelor poate fi transformata intr-o distructiva cu ajutorul unui camp magnetic slab. Semnatura acestui fenomen este magnetorezistenta negativa.

### c. 1D (sistem unidimensional)

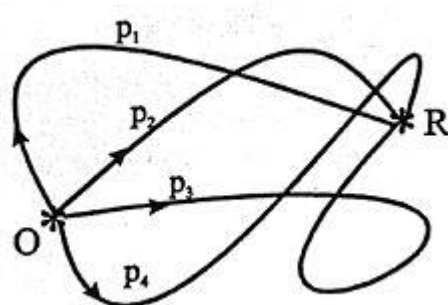
In acest caz,  $d \ln g/d \ln L < 0$  pentru orice G. Pentru  $L \rightarrow \infty$  atat conductanta cat si conductivitatea unui sistem unidimensional dezordonat scad exponential.

## 2.3 Localizarea slabă (WL)

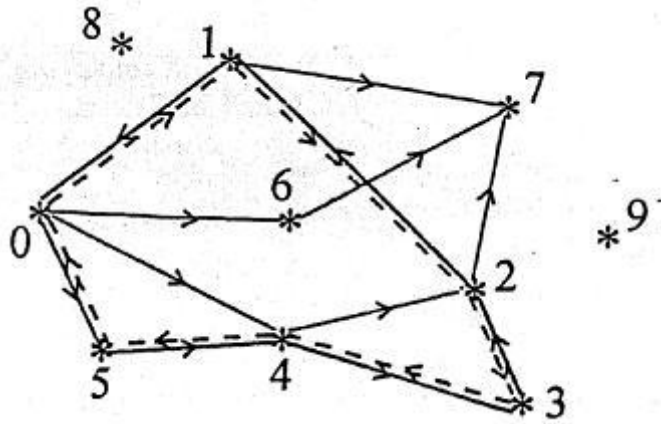
Un electron este slab localizat atunci cand in urma unei succesiuni de evenimente de imprastiere probabilitatea lui de a se intoarce in pozitia initiala este foarte mare.

Transportul unui electron printr-un mediu difuziv din pozitia 1 in pozitia 2 este descrisa de coeficientul de transmisie. Conductanta este direct proportionala cu probabilitatea electronilor de a interfe ra constructiv sau distructiv, deci, direct proportionala cu probabilitatea de transmisie.

Unda electronului pleaca din pozitia 1, este impartita intr-un numar de unde partiale,  $\psi_j$ , ce traverseaza mediul de-a lungul unor drumuri diferite,  $p_j$ , si sufera un numar mare de imprastieri elastice inainte de a ajunge la punctul 2. Precizam ca s-a plecat de la premiza ca electronul poate parcurge un drum bine definit si ca de-a lungul acestuia nu va foarte tare imprastiat. Daca aceste conditii nu sunt indeplinite vom vorbi de o localizare puternica, fenomen ce necesita o descriere complet diferita.



*Figură 7. Unda electronului ce trece printr-un mediu dezordonat ce contine centri de imprastiere elastica. Unda unui singur electron din pozitia O este impartita intr-un numar de unde partiale  $\psi_j$ , fiecare urmand un drum bine definit,  $p_j$ , ajung in pozitia R cu un coefficient de trasmisie  $t_j$ . Faza  $\varphi_j$  cu acre electronul ajunge in punctual R depinde de lungimea drumului efectuat ce difera de oricare alt drum.*



Figură 8. Unda unui electron ce porneste din punctual 0 si undele sale partiale. Linia continua reprezinta drumul din punctual 0 in punctual final 7. Linia intrerupta indica drumul ce permite electronului sa se intoarca in pozitia sa initiala, 0.

Unda electronului are ca pozitie de start punctul 0. Drumurile  $\{0,1,7\}$ ,  $\{0,4,2,7\}$ ,  $\{0,5,4,3,2,7\}$ ,  $\{0,4,2,4,2,7\}$  etc. contribuie la amplitudinea totala a undei din punctul 7, deci:

$$\Psi(7) = \sum_j \Psi_j = \sum_j t_j \exp(i\varphi_j)$$

De aici rezulta ca probabilitatea totala ca electronul sa ajunga in pozitia 7 este:

$$P(7) \equiv |\Psi(7)|^2 = \sum_j t_j^2 + \sum_{j \neq k} t_j t_k \cos(\varphi_j - \varphi_k)$$

Insa cel de-al doilea termen are o contributie foarte mica si astfel:

$$P \approx \sum_j t_j^2$$

(ec. 31)

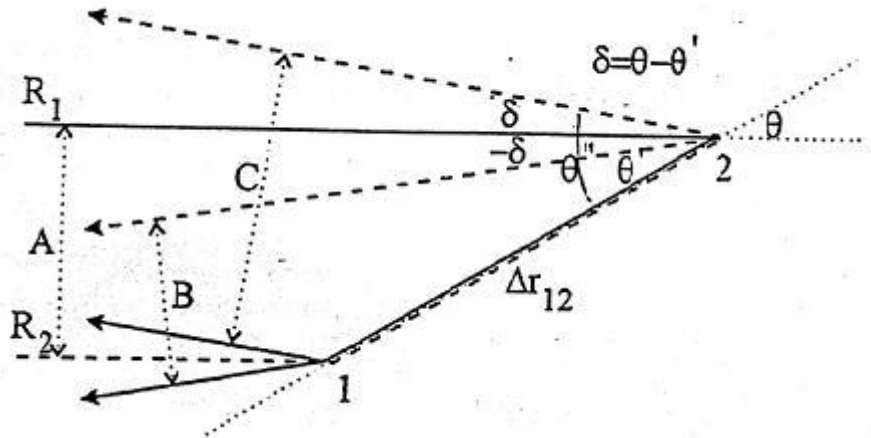
Probabilitatea ca un electron sa se intoarca in pozitia din care a plecat este data de expresia:

$$P_j(0 \rightarrow 0) = t_{j+}^2 t_{j-}^2 + t_{j+} t_{j-} \cos(\varphi_j - \varphi_j) + t_{j-} t_{j+} \cos(\varphi_j - \varphi_j) = 4t_j^2 \text{ unde } t_{j+} = t_{j-} = t_j \text{ rezulta ca:}$$

$$P(0 \rightarrow 0) = \sum_j P_j(0 \rightarrow 0) = 4 \sum_j t_j^2$$

Sa consideram acum, doua fascicole R1 si R2. Fascicolul R1 pleaca din punctul 2, sufera o imprastiere in punctul 1 si se intoarce sub unghiul  $\delta$ . Fascicolul R2 pleaca din punctul 1 si este imprastiat tot sub unghiul  $\delta$ . Diferenta de drum,  $\Delta l_{12}(\delta)$  dintre cele doua fascicole este:

$$\Delta l_{12}(\delta) = a - a' = \Delta r_{12}(\cos(\theta - \cos(\theta'))) \text{ unde } \theta' = \theta + \delta$$



Figură 9. Unda plană a unui electron retroimprăștiat coherent. A-punctul incident. 1 și 2 imprăștieri elastic. În punctul B frontul de undă pleacă în urma imprăștierii sub unghiul  $-\delta$  față de fasciculul incident; similar, frontul de undă pleacă sub unghiul  $+\delta$  din punctul C.

Pentru  $\delta$  mic

$$\Delta\phi_{12}(\pm\delta) = 2\pi \frac{\Delta l_{12}(\pm\delta)}{\lambda_F} \approx 2\pi \frac{\Delta r_{12}}{\lambda_F} \left[ -\frac{1}{2}\delta^2 \cos(\theta) \pm \delta \sin(\theta) \right] \quad (ec. 32)$$

Cele două raze interfeira constructiv dacă diferența de fază dintre ele nu este mai mare decât  $\sim \pi/2$ .

$-\pi/2 < \theta < \pi/2$ ,  $l_e$  este drumul liber între două imprăștieri elastice.

$$\langle \Delta r_{12} \cos(\theta) \rangle \approx \Delta r_{12}/2 \approx l_e/2$$

$$\lambda_F \ll l_e ; \Delta r_{12} \sim l_e$$

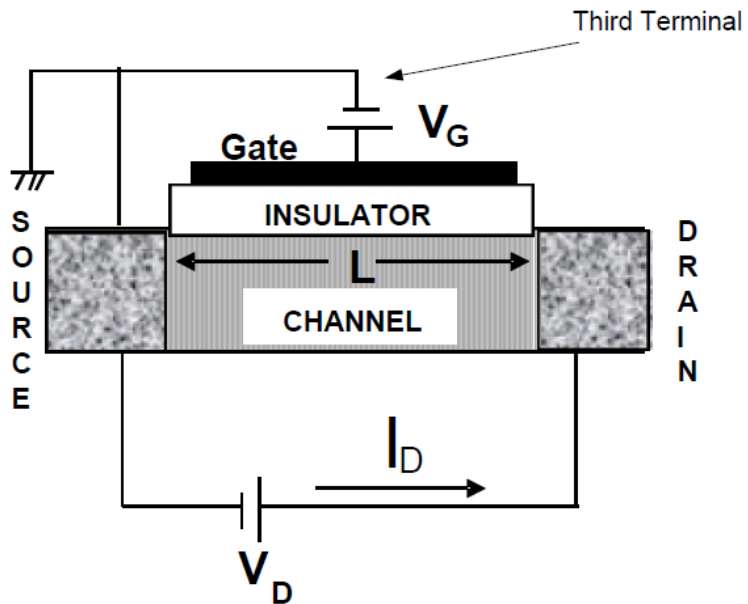
$$\delta_{\max} \approx \sqrt{\lambda_F/l_e} ; \delta_{\max} \ll 1.$$

Deci, în urma unei imprăștieri, undă este reflectată sub un unghi foarte mic, asadar retroimprăștiata coherent.

## 2.4 Corectia de localizare slabă

In acesta parte a lucrării voi readuce în discuție unul dintre cele mai folosite dispozitive în electronica, FET-ul și voi dezvolta ultima afirmație făcută în secțiunea „Localizarea slabă”: “Conductanța este direct proporțională cu probabilitatea electronilor de a interfeira constructiv sau distructiv, deci, direct proporțională cu probabilitatea de transmisie”.

Cel mai comun dispozitiv din micro/nano-electronica este tranzistorul cu efect de camp (FET). Un laptop conține aproximativ un miliard de dispozitive FET.

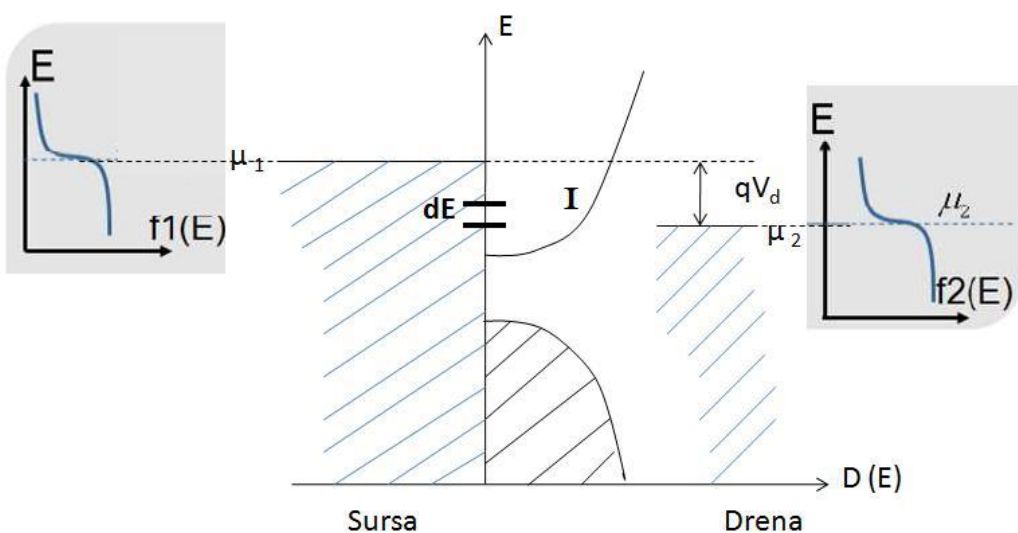


Figură 10. Tranzistor cu efect de camp.

Un tranzistor poate fi echivalent cu o rezistență controlată prin al treilea terminal.

$$\begin{array}{ccc}
 10 \text{ k}\Omega & \xrightarrow{\hspace{1cm}} & 100 \text{ M}\Omega \\
 \text{ON} & & \text{OFF}
 \end{array}$$

Lungimea tranzistorului este în general de zece ori mai mare decât lungimea canalului și poate avea dimensiuni cuprinse între 10 mm și 0.1 nm. Dacă acum 20-30 de ani existau dispozitive cu  $L \sim 10-20 \mu\text{m}$ , astăzi se fabrică industrial FET-uri cu  $L$  cuprins între 10 nm și 1 nm. În stadiu de cercetare sunt dispozitive cu  $1 \text{ \AA} < L < 1 \text{ nm}$ .



Figură 11. Schita tranzistor.

Prin aceasta structura va curge curent doar daca starile din zona I (intre cele doua potentiiale) sunt ocupate. Aplicand o tensiune pozitiva, potentialul electrochimic va cobora si vice versa pentru un potential negativ. Starile de sub  $\mu_1$  si  $\mu_2$  sunt ocupate si nu contribuie la producerea curentului electric. Curentul este strans legat de usurinta cu care electronii ies din contacte, adica de parametrul  $\gamma/\hbar$ , unde  $\gamma$  are dimensiune de energie.

$$f_1(E) = \frac{1}{\exp^{(E-\mu_1)/kT} - 1} \quad (\text{ec. 33})$$

Curentul de trece prin  $dE$  se scrie sub forma:

$$\delta I = q \int dE \cdot D(E) \frac{\gamma}{2\hbar} (f_1(E) - f_2(E)) \quad (\text{ec. 34})$$

$$f_1 - f_2 = \frac{\partial f}{\partial \mu} (\mu_1 - \mu_2) = -\frac{\partial f}{\partial E} (\mu_1 - \mu_2)$$

$$\mu_1 - \mu_2 = qV$$

$$\delta I = \frac{q}{h} \int dE \cdot \bar{T}(E) \frac{\partial f}{\partial E} \cdot qV \quad (\text{ec. 35})$$

$$G = \frac{\delta I}{(\mu_1 - \mu_2)/q} = \frac{2q^2}{h} \int \bar{T}(E) \left( -\frac{\partial f}{\partial E} \right) dE \quad (\text{ec. 36})$$

Ecuatia 36 este supranumita formula raspunsului liniar (temperatura diferita de zero)

Unde  $T(E)$  este functia de transmisie ce descrie probabilitatea electronilor de ajunge de la un contact la altul.

Pentru temperaturi joase se poate scrie:

$$\frac{\partial f}{\partial E} \approx \delta(E_F - E) \quad (\text{ec. 37})$$

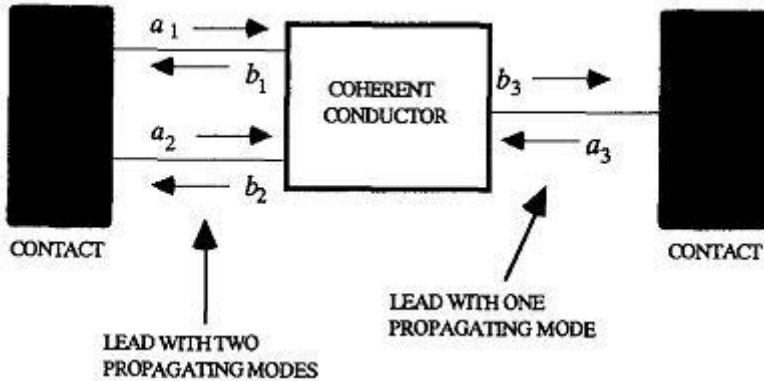
Deci cand  $T \rightarrow 0$

$$G = \frac{2q^2}{h} \bar{T}(E_F) \quad (\text{ec. 38})$$

- Cum se calculeaza functia de transmisie pentru sisteme mezoscopice reale?

Daca marimea sistemului,  $L$ , este mai mic decat lungimea de faza atunci transportul este coherent iar functia de transmisie poate fi calculata pornind de la ecuatia lui Schrodinger. In acest caz functia de transmisie este strans legata de matricea de imprastiere, matricea  $S$ . Un conductor coherent poate fi descris la orice energie de o matrice  $S$ . Aceasta leaga amplitudinile undelor ce vin si pleaca din cele doua contacte. Daca numarul total de moduri din contacte este trei atunci putem scrie:

$$\begin{pmatrix} b_1 \\ b_2 \\ b_3 \end{pmatrix} = \begin{bmatrix} s_{11} & s_{12} & s_{13} \\ s_{21} & s_{22} & s_{23} \\ s_{31} & s_{32} & s_{33} \end{bmatrix} \begin{pmatrix} a_1 \\ a_2 \\ a_3 \end{pmatrix} \quad (\text{ec. 39})$$



Figură 12. Un dispozitiv cu transport coherent poate fi caracterizat cu ajutorul unei matrici de imprăstiere.

Numarul total de moduri este obtinut prin insumarea numarului de moduri din fiecare contact:

$$M_T(E) = \sum_p M_p(E)$$

$$T_{mn} = |S_{mn}|^2 ; \quad \bar{T}_{pq} = \sum_{m \in q} \sum_{n \in p} T_{mn} \quad (\text{ec. 40})$$

Unde  $T_{mn}$  este probabilitatea de transmisie,  $\bar{T}_{pq}$  este functia de transmisie, m sunt modurile din contactul q iar n sunt modurile din contactul p.

Pentru a nu incalca legea de conservare a curentului matricea S trebuie sa fie unitara, deci:

$$[S]^+ [S] = I = [S][S]^+ \quad (\text{ec. 41})$$

$$\sum_{m=1}^{M_T} |S_{mn}|^2 = 1 = \sum_{m=1}^{M_T} |S_{nm}|^2$$

$$\sum_q \bar{T}_{qp} = \sum_{n \in p} \sum_{m=1}^{M_T} T_{mn} = \sum_{n \in p} 1 = M_p$$

$$\sum_q \bar{T}_{pq} = \sum_{n \in p} \sum_{m=1}^{M_T} T_{nm} = \sum_{n \in p} 1 = M_p$$

$$\sum_q \bar{T}_{pq}(E) = \sum_q \bar{T}_{qp}(E) = M_p(E) \quad (\text{ec. 42})$$

Rezulta:

$$\sum_q G_{pq} = \sum_q G_{qp} = \frac{2q^2}{h} \int M_p(E) \left( -\frac{v_f}{vE} \right) dE \quad (\text{ec. 43})$$

Atunci cand dimensiunea conductorilor este mare decat lungimea de coerenta de faza, incercam sa impartim L in mai multe sectiuni al caror L' < l<sub>φ</sub>. Considerand ca transportul in fiecare sectiune este coherent, putem determina individual matricea S. Segmentele sunt apoi legate intre ele incoherent. Acest tip de abordare ofera o descriere satisfacatoare a transportului incoherent fara a face uz de concepte avansate necesare teoriei microscopice de transport incoherent.

Functia Green, G<sup>R</sup>(r, r') poate fi privita ca o matrice S generalizata cu ajutorul careia putem descrie raspunsul in orice punct (din interiorul sau exteriorul conductorului), r, unei excitatii din punctul r'. Functia Green este de un real folos atunci cand dorim sa includem in calcul si efectele interactiilor electron-electron sau electron-fonon.

Functia Green poate fi definita ca:

$$R = D_{op}^{-1} S = GS \quad \text{unde} \quad G \equiv D_{op}^{-1} \quad (\text{ec. 44})$$

Atunci cand raspunsul, R, este legat de excitarea, S, prin un operator diferential D<sub>op</sub>:

$$D_{op} R = S$$

$$[E - H_{op}] \Psi = S \quad G = [EI - H_{op} - \Sigma^R]^{-1} \quad (\text{ec. 45})$$

Atunci cand includem in calcul si interferentele cuantice, rezistenta nu depinde doar de numarul de imprastieri, deci de L, ci depinde de lungimea de unda a electronilor si de configuratia de imprastiere.

Cand L > l<sub>φ</sub> un conductor poate fi privit ca un ansamblu de unitati cu coerenta de faza, fiecare avand distributia ei de impuritati si, deci, un potential de imprastiere diferit, U(r). Teoria perturbatiei diagramatice ofera un mod elegant de a trata un astfel de ansamblu.

In cele ce urmeaza voi calcula corectia datorata efectului de localizare slaba pentru conductanta unui sistem bidimensional.

La T = 0K, E = E<sub>F</sub>

$$\sigma_{xx} = \frac{2e^2}{h} \frac{\hbar^2}{L^d} \sum_{k,k'} v_x(k) v_x(k') \langle |G^R(k, k')|^2 \rangle \quad (\text{ec. 46})$$

$$G^R = [EI - H_c - \Sigma^R]^{-1} \quad (\text{ec. 47})$$

Unde I este operatorul indentitate, H<sub>c</sub> este Hamiltonianul conductorului, Σ este termenul de self-energie. Introducem un termen energetic imaginari,

$$G^R = \left[ (E + i\eta_\phi)I - H_c \right]^{-1} \quad (\text{ec. 48})$$

Unde  $i\eta_\phi$  este asociat pierderii coerentei.

$H(k', k) = \frac{\hbar^2 k^2}{2m} \delta_{k', k} + U(k', k)$  unde  $U(k', k)$  este reprezentarea matricială a potentialului de imprastiere.

$$U(k', k) = \langle k' | U | k \rangle = \int U(r) \exp[-i(k' - k)r] \frac{dr}{L^2} \quad (\text{ec. 49})$$

Consideram un conductor bidimensional (patrat cu latura L):

$$k_{x,y} = n_{x,y} (2\pi/L)$$

In calculele ce vor urma suma  $\sum_k$  va fi echivalata cu  $L^2 \int \frac{dk}{4\pi^2}$

Se poate observa ca daca  $U = 0$  atunci functia Green,  $G_0$ , este pur diagonală.

$$G_0(k', k) = \delta_{k', k} \frac{1}{E - (\hbar^2 k^2 / 2m) + i\eta_\phi} \quad (\text{ec. 50})$$

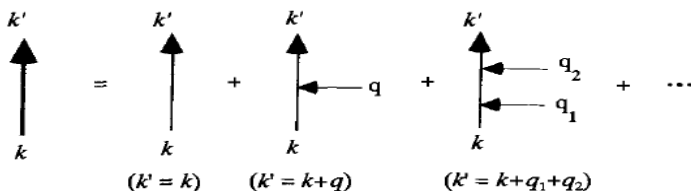
In prezenta unui potential de imprastiere:

$$[G^R] = [G_0^{-1} - U]^{-1} \quad (\text{ec. 51})$$

Functia Green se poate extinde intr-o serie perturbativa:

$$\begin{aligned} G^R &= [G_0^{-1} [I - G_0 U]]^{-1} = [I - G_0 U]^{-1} G_0 = [I + G_0 U + G_0 U G_0 U + \dots] G_0 = \\ &= G_0 + G_0 U G_0 + G_0 U G_0 U G_0 + \dots \end{aligned} \quad (\text{ec. 52})$$

Acesta serie poate fi echivalata prin urmatoare reprezentare geometrica:



$$U_q \equiv U(k', k) \text{ unde } q = k' - k$$

$$G^R(k', k) = \delta_{k', k} G_0(k) + G_0(k') U_q G_0(k) + G_0(k') U_{q2} G_0(k + q_1) U_{q1} G_0(k) + \dots \quad (\text{ec. 53})$$

Admitand ca media potentialului de imprastiere,  $\langle U(r) \rangle$ , este zero si ca functia de corelatie spatiala este data de:

$$\langle U(r) U(r') \rangle = \bar{U}^2 \delta(r - r')$$

$$U(k, k') = \int U(r) \exp[-i(k' - k)r] \frac{dr}{L^2}$$

rezulta :

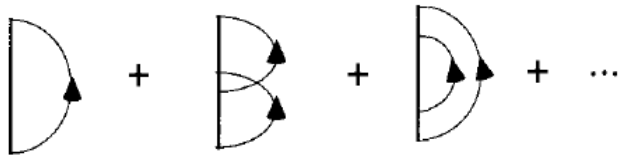
$$\langle U_q U_{q'} \rangle = \frac{\bar{U}^2}{L^2} \delta_{q, -q'} \quad (\text{ec. 54})$$

Functia Green a ansamblului poate fi calculata prin medierea fiecarui termen din seria perturbativa. Astfel:

$$\langle G_0(k') U_q G_0(k) \rangle = 0$$

$$\langle G_0(k') U_{q2} G_0(k + q) U_{q1} G_0(k) \rangle = \frac{\bar{U}^2}{L^2} G_0(k') G_0(k + q) G_0(k) \quad (\text{ec. 55})$$

Dupa mediere diagramele vor fi de forma:



$$\begin{aligned} \langle G^R \rangle &= G_0 + G_0 \sum G_0 + G_0 \sum G_0 \sum G_0 + \dots \\ &= G_0 [I + G_0 \sum + \sum G_0 \sum G_0 + \dots] \\ &= G_0 [I - \sum G_0]^{-1} \end{aligned} \quad (\text{ec. 56})$$

Ecuatia 56 este numita Dyson.

$$\langle G^R \rangle^{-1} = G_0^{-1} - \sum \quad (\text{ec. 57})$$

$$\sigma = \frac{2e^2 \hbar^2}{h L^d} \sum_{k, k'} v_x(k) v_x(k') \langle |G^R(k, k')|^2 \rangle \quad (\text{ec. 58})$$

$$\begin{aligned} \sigma_o &= \frac{2e^2 \hbar^2}{h L^d} \sum_{k, k'} v_x(k) v_x(k') \langle |G^R(k, k')| \rangle^2 \\ \sigma_0 &= \frac{2e^2 \hbar^2}{h L^2} \sum_k \left( \frac{\hbar k_x}{m} \right) \frac{1}{(E - \sum(k) - \sigma(k))^2 + \eta^2(k)} \\ &= \frac{e^2 \hbar^3}{\pi n^2 \eta} \int \frac{k}{4\pi^2 \eta} k^2 \cos^2 \theta \frac{\eta}{(E - \sum(k) - \sigma(k))^2 + \eta^2(k)} d\theta dk \end{aligned} \quad (\text{ec. 59})$$

Aproximam:

$$\frac{\eta}{(E - \sum(k))^2 + \eta^2} \approx \pi \delta(E - \sum(k))$$

$$\sigma_0 = \frac{e^2 \hbar^3}{\pi m^2} \int \frac{k}{4\pi^2 \eta} k^2 \cos^2 \theta \pi \delta(E - \Sigma(k)) d\theta dk = \frac{e^2 E}{2\pi \hbar \eta} \quad (\text{ec. 60})$$

$$E = E_F = \frac{n_s}{m/\pi \hbar^2}$$

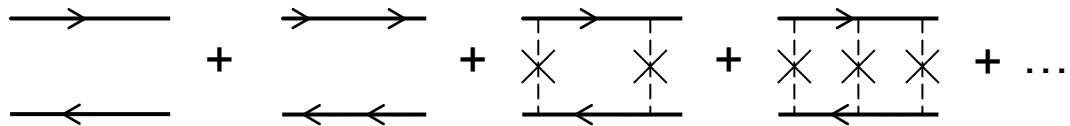
Rezulta:  $\sigma_0 = \frac{n_s e^2 \tau}{n}$  (ec. 61)

$\sigma_0$  este conductivitatea Drude.

$$\frac{\Delta \sigma}{2e^2/h} = \frac{\hbar^2}{L^2} \sum_{k,k'} v_x(k) v_x(k') \left[ \langle |G^R(k, k')|^2 \rangle - \langle |G^R(k, k')| \rangle^2 \right]$$

$$\frac{\Delta \sigma}{2e^2/h} = \frac{\hbar^2}{L^2} \sum_{k,k'} v_x(k) v_x(k') |G(k)|^2 |G(k')|^2 \Gamma(k, k') \quad (\text{ec. 62})$$

Corectia de localizare slaba este data de diagramele scara („ladder”). Principala proprietate a acestor diagrame este ca pot fi insumate pana la infinit.



$$\Gamma(k, k') = \left( \frac{U^2}{L^2} \right)^2 \sum_q G(k - q) G(k' + q)^* \Leftrightarrow \Gamma(k, k') = \left( \frac{U^2}{L^2} \right) \Lambda(k, k') \quad (\text{ec. 63})$$

$$\Lambda(k, k') = \left( \frac{U^2}{L^2} \right) \sum_q G(k - q) G(k' + q)^* \quad (\text{ec. 64})$$

$$\beta = k + k' ; \quad k_1 = k - q$$

$$\Lambda(k, k') = \left( \frac{U^2}{L^2} \right) \sum_{k_1} G(k_1) G(\beta - k_1)^* = U^2 \int \frac{1}{E - \Sigma(k_1) + i\eta} \frac{1}{E - \Sigma(\beta - k_1) - i\eta} \frac{k_1 dk_1 d\theta}{4\pi^2}$$

$$\Lambda(k, k') = \frac{m U^2}{4\pi^2 \hbar^2} \int_0^{2\pi} (2\pi i) \left[ \frac{1}{\Sigma(k_1) - E - (\hbar^2 k_1 \beta \cos \theta / m) + (\hbar^2 \beta^2 / 2m) + i\eta} \right]$$

$$\Lambda(k, k') = \frac{\eta_{el}}{\eta} \int_0^{2\pi} \frac{1}{1 + i(\hbar \nu \beta \cos \theta / 2\eta)} \frac{d\theta}{2\pi} \quad (\text{ec. 65})$$

Cum localizarea slaba se datoreaza unui unghi mic in jurul directiei de retroimprastiere putem scrie ca  $\beta=0$ . Pentru a calcula corectia de localizare scara este sufficient sa evaluam  $\Lambda(k, k')$  pentru unghiuri mici, deci  $\beta$  mici:

$$\Lambda(k, k') \approx \frac{\eta_{el}}{\eta} \int \left\{ 1 - \frac{i\hbar v \beta \cos \theta}{2\eta} - \frac{\hbar^2 v^2 \beta^2 \cos^2 \theta}{4\eta^2} \right\} \frac{d\theta}{2\pi} = \frac{\eta_{el}}{\eta} \left\{ 1 - \frac{\hbar^2 v^2 \beta^2}{8\eta^2} \right\} \quad (\text{ec. 66})$$

$$\text{cum } \eta = \frac{\hbar}{2\tau} \quad \text{si } D = \frac{v^2 \tau}{2} \quad \text{rezulta :}$$

$$\Lambda(k, k') \approx \frac{\eta_{el}}{\eta} (1 - D\tau\beta^2) \quad (\text{ec. 67})$$

Din ecuatia 63 si 67 rezulta:

$$\Gamma(k, k') = \frac{\bar{U}^2}{L^2} C(\beta) \quad (\text{ec. 68})$$

$$\text{Unde } C(\beta) \approx \frac{1/D\tau}{(1/D\tau_\phi) + \beta^2} ; \quad \tau_{el} \ll \tau_\phi \quad (\text{ec. 69})$$

$$\frac{\Delta\sigma}{2e^2/h} = \frac{\hbar^2}{L^2} \sum_{k, k'} v_x(k) v_x(k') |G(k)|^2 |G(k')|^2 \Gamma(k', k) \quad (\text{ec. 70})$$

$$\frac{\Delta\sigma}{2e/h} = -2D\tau \cdot \frac{1}{L^2} \sum_\beta C(\beta) = -\frac{1}{2\pi} \int_0^{(D\tau)^{-1}} \frac{d(\beta^2)}{\beta^2 + (1/D\tau_\phi)} \quad (\text{ec. 71})$$

Unde  $\Delta\sigma$  reprezinta corectia conductivitatii

Pentru a distinge intre conductanta Drude si efectul localizarii slabe se aplica asupra sistemului un camp magnetic. Campul magnetic conduce la interferenta distructiva a undelor suprimand astfel efectul localizarii slabe.

$$\Delta\varphi_{1 \rightarrow 2} = 2\pi \frac{m}{h} \int_l^2 \vec{v}_F \cdot d\vec{l} - 2\pi \frac{e}{h} \int_l^2 \vec{A} \cdot d\vec{l} = \Delta_v \varphi_{1 \rightarrow 2} + \Delta_A \varphi_{1 \rightarrow 2} \quad (\text{ec. 72})$$

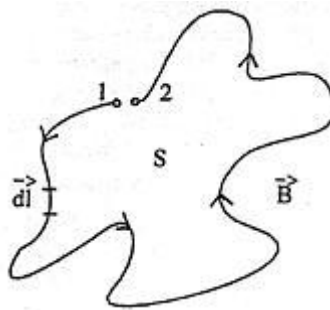
Unde  $\Delta\varphi_{1 \rightarrow 2}$  este faza unui electron cu energia Fermi ce parcurge drumul  $\vec{l}$  dintre pozitiile 1 si 2. Influenta campului magnetic este introdus in cel de-al doilea termen al ecuatiei via vectorului de potential,  $\vec{A}$ .

$$\vec{B} = \vec{\nabla} \wedge \vec{A}; \quad \vec{p} = \hbar \vec{k} = m \vec{v} + q \vec{A} = m \vec{v} - e \vec{A}$$

$$\Delta\varphi_{1 \rightarrow 2} = k_F L - 2\pi \frac{e}{h} \oint \vec{A} \cdot d\vec{l} = k_F L - 2\pi \frac{e}{h} \iint \vec{B} \cdot d\vec{S} = k_F L - 2\pi \frac{e}{h} \Phi \quad (\text{ec. 73})$$

Unde  $\Phi$  este fluxul  $B \cdot S$ ;  $\Phi_0 = h/e$  este fluxul cuantic.

$$\Delta\varphi = k_F L - 2\pi \frac{\Phi}{\Phi_0}$$



Figură 13. Traекторie tipică ce contribuie la efectul de localizare slabă permitând electronului să se întoarcă în poziția sa initială

Efectul localizării slave este descris de o mulțime de traекторii (fiecare cu forma și marimea ei) ce închid o arie  $S_j$ . La un camp dat, sifarea fazei depinde liniar de aria,  $S_j$  asociată fiecărui traекторiu,  $p_j$ . Drumurile cele mai lungi ce pot contribui la localizarea slave sunt aceleia care au dimensiunea apropiată lungimii de coerenta de fază,  $L_{\max} \sim l_\varphi$ , cu  $S_{l_\varphi} \approx \pi(l_\varphi / 2\pi)^2$ .

Localizarea slave începe să fie distrusa atunci când:

$$\Delta\varphi \approx \frac{\pi}{2} \approx \frac{2\pi}{\Phi_0} S_{l_\varphi} B_C = \frac{2\pi}{\Phi_0} \pi \left( \frac{l_\varphi}{2\pi} \right)^2 B_C \quad (\text{ec. 74})$$

Disparitia efectului de localizare slave începe atunci cand ecuația 75 este indeplinită.

$$B_C \approx \frac{\Phi_0}{l_\varphi^2} = \frac{h}{e l_\varphi^2} \quad (\text{ec. 75})$$

In concluzie, localizarea slave poate fi suprimată prin aplicarea unui camp magnetic. Aceasta proprietate este folosită pentru a studia experimental efectul de localizare slave.

## 2.5 Lungimea de taiere

Teoria de scala a localizării este aplicabilă pentru sisteme fără interacție și la  $T=0K$ . Thouless (1977) a argumentat că imprăstierile inelastice induc o randomizare a fazelor electronilor ceea ce conduce la o scadere a efectului de localizare slave din sistem. Dacă  $\tau_{in} \gg \tau$ , înainte de a suferi o imprăstiere inelastica, electronul parcurează distanța  $L_{Th} = (D\tau_{in})^{1/2}$  (ec. 76)

Unde  $D = (v_F^2 \tau / d)$  este constanta de difuzie. Efectul de localizare slave este dispare după o anumită valoare a  $L_{Th}$  numita lungime de taiere. Astfel, cu ajutorul teoriei de scala la  $T=0$  și a lungimii de taiere,  $L_{Th}$ , se poate descrie un sistem dezordonat la temperatură diferită de zero.

Timpul de imprastiere inelastica creste cu cat temperatura descreste;  $\tau_i \propto T^{-p}$  (ec. 77)

unde  $p$  este un coeficient ce depinde de mecanismul de imprastiere, de dimensionalitatea sistemului etc.

$$L_{Th} = aT^{-p/2} \quad (\text{ec. 78})$$

Conform ecuatiei 78 efectul dependentii de scala este mai evident la temperature joase.

Introducand  $L_{Th}$  in expresia conductivitatii gasim:

$$\sigma_{3D}(T) = \sigma_0 + \frac{e^2}{\hbar\pi^3} \frac{1}{a} T^{p/2} \quad (\text{ec. 79})$$

$$\sigma_{2D}(T) = \sigma_0 + \frac{p}{2} \frac{e^2}{\hbar\pi^2} \ln\left(\frac{T}{T_0}\right) \quad (\text{ec. 80})$$

$$\sigma_{1D}(T) = \sigma_0 - \frac{ae^2}{\hbar\pi} T^{-p/2} \quad (\text{ec. 81})$$

### 3. Rezultate experimentale si discutii

In vederea transpunerii notiunilor teoretice enuntate mai sus au fost analizate structuri subtiri de oxid de zinc.

Oxidul de zinc a captat atentia cercetatorilor datorita proprietatiilor sale fizice. ZnO este un semiconductor extrem de promitor in domeniul optoelectricii datorita caracteristicilor sale, precum largimea benzii interzise :  $E_g \sim 3.3$  eV la  $T=300K$  dar si transmitanta straturilor subtiri bde peste 90% in domeniul vizibil. Un semiconductor cu o largime de banda asemanatore, folosit in producerea LED-urilor ce emit lumina verde, albastru-ultravioleta si alba, este GaN. Energia mare de legatura intre electroni si goluri ( $\sim 60$ meV), dar si posibilitatea de a fi crescut, prin metode ieftine si simple, reprezinta avantajele principale pe care ZnO le are fata de GaN.

#### 3.1 Proprietatile fizice ale oxidului de zinc

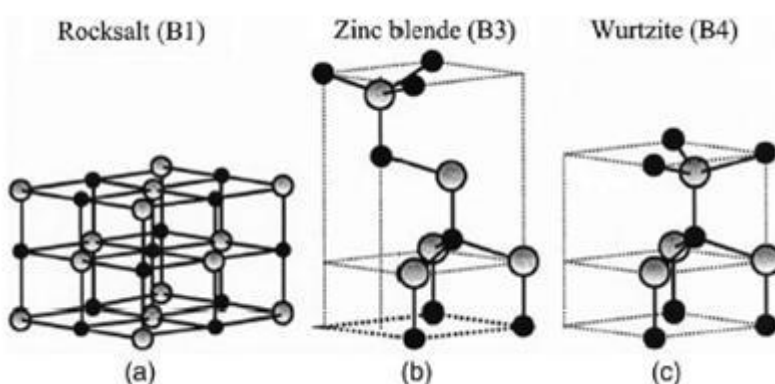
##### a. Structura

In general, semiconductoarii din grupa II-VI cristalizeaza fie in structura blenda de zinc, fie in structura hexagonală, unde fiecare anion este inconjurat de patru cationi asezati in colturile unui tetragon, si vice versa. Acest tip de asezare, tetraedrica, este specifica legaturilor covalente  $sp^3$  insa aceste materiale au si un pronuntat caracter ionic.

ZnO este un semiconductor II-VI al caracter ionic il situeaza chiar la granita dintre semiconductoarii covalenti si cei ionici.

Structurile cristaline pe care le poate avea oxidul de zinc sunt:

1. Würzite (B4);
2. Blenda de zinc (B3);
3. Cubic cu fete centrate (NaCl) (B1)



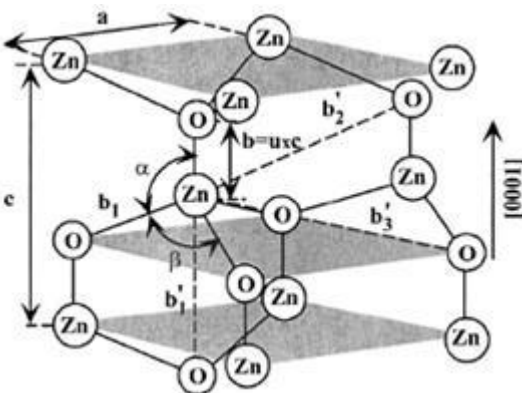
Figură 14. (a) structura cubica NaCl, (b) blenda de zinc, (c) wurtzite (B4); sferele gri reprezinta atomii de Zn, sferele negre reprezinta atomii de oxigen.

La temperatura camerei, faza stabila termodinamic este cea de tip wurtzit. Blenda de zinc poate fi stabilizata doar daca oxidul de zinc este crescut pe un substrat cu structura cubica; structura cubica poate fi obtinuta doar la presiuni mari (zeci de GPa).

In cazul wurtzitului celula unitate este un hexagon cu parametrii de rete,  $a$  si  $c$ , unde:

$$\frac{c}{a} = \sqrt{\frac{8}{3}} = 1.63.$$

Structura wurtzit apartine grupului  $C_{6v}^4$  sau  $P6_3mc$ . (fig.3) iar parametrii de rete variaza intre 3.2475Å si 3.2501Å pentru  $a$  si intre 5.2042Å si 5.2075Å pentru  $c$ .



Figură 15. Reprezentare schematica a unei structure de ZnO wurtzit.

### 3.2 Transport in camp electric mic

Masurarea tensiunii Hall este cea mai folosita tehnica pentru investigarea proprietatilor de transport. In acest fel se poate calcula concentratia de purtatori, tipul lor (electroni sau goluri) si valoarea mobilitatii. Altfel spus, masuratorile de efect Hall, intr-un domeniu larg de temperaturi (4-300K), furnizeaza informatii despre impuritati, uniformitatea structurii, mecanismul de imprastiere, etc.

$$R_H = \frac{r_H}{ne}; \mu_H = \frac{R_H}{\rho} \quad (\text{ec. 82})$$

Unde constanta Hall,  $R_H$ , si rezistivitatea,  $\rho$ , sunt determinate experimental;  $r_H$  este factorul de imprastiere Hall care este dependent de mecanismul de imprastiere,  $n$  este concentratia de electroni liberi,  $e$  este sarcina electrica.

In drumul lor prin sistem, purtatorii de sarcina sufera imprastieri, aceste procese fiind descrise de timpul de relaxare,  $\tau$ , unde:

$$\mu = \frac{q\langle\tau\rangle}{m^*} \quad (\text{ec. 83})$$

Unde  $q$  este sarcina electronica,  $m^*$  este masa efectiva a electronului si  $\langle\tau\rangle$  este valoarea medie (peste distributia de energie) a timpului de relaxare. Timpul total de relaxare este dat de expresia lui Matthiessen:

$$\frac{1}{\tau_T} = \sum_i \frac{1}{\tau_i} \quad (\text{ec. 84})$$

Unde  $\tau_i$  este timpul de relaxare corespunzator fiecarui mecanism de imprastiere.

Principalele mecanisme de imprastiere ce influenteaza transportul electronic in semiconductori sunt listate mai jos:

1. Imprastiere pe impuritati ionizate – Existenta defectelor sau impuritatilor dopante in material conduce la aparitia unor centrii incarcati electric/ centrii imprastiitori datorita interactiei Coulombiene dintre electronii liberi din sistem si acestia.

Filmele TCO (contacte oxidice transparente) contin o multitudine de defecte punctuale. Aceste defecte sunt in general vacante de oxigen sau atomi metalici in exces (in filme nedopate) sau dopanti externi (filme dopate). In sistemele electronice degenerate, doar electronii din apropierea nivelului Fermi au un rol in conductie. Conform cu formula Conwell-Weisskoff cand purtatorii de sarcina sunt imprastiati pe impuritati ionizate atunci dependenta energiei de mobilitate este:

$$\mu_i = \frac{e}{m^*} \tau_i(E_F) = \left( \frac{2}{m^*} \right)^{1/2} \frac{\epsilon^{1/2} E_F^{3/2}}{\pi e^3 N_i Z^2} \frac{1}{\ln \left( 1 + \frac{\epsilon E_F}{N_i^{1/3} Z e^2} \right)^2} \quad (\text{ec. 85})$$

unde  $\tau_i(E_F)$  este timpul de relaxare,  $\epsilon$  este constanta dielectrica,  $N_i$  este concentratia centrilor imprastiatori. Cum se poate observa din formula de mai sus mecanismul de imprastiere pe impuritati ionizate conduce la independenta mobilitatii de temperaturi pentru semiconductori degenerate. In contrast cu cele afirmate anterior, Agnihotry si colaboratorii au estimate theoretic o dependenta a mobilitatii de temperaturi pentru imprastieri pe impuritati ionizate:  $\mu \propto T^{3/2}$  [14]

2. Imprastiere cauzata de interactia electronilor cu un camp electric asociat unei polarizari electrice ce este indusa de vibratia retelei (fononilor). Acest proces este strans legat de natura ionica a legaturilor chimice din semiconductor.

Cu cat temperatura creste cu atat imprastierile pe fononi devin mai importante.

$$\frac{1}{\tau(E_F)} = \frac{e^2 k_{av}^2 m^* k_B T_L}{2\pi\varepsilon} \quad (\text{ec. 86})$$

unde  $T_L$  este temperatura baii de fononi, iar  $k_{av}^2$  este media coeficientului de cuplaj electro-macanic.

$$\text{Deci: } \mu \propto \frac{1}{T}$$

Pentru un film TCO degenerat:

$$\rho(T) = \frac{AT^5}{M\Theta_D^6} \int_0^{\Theta_{D/T}} \frac{x^5 dx}{(e^x - 1)(1 - e^{-x})} \quad (\text{ec. 87})$$

unde A este o constanta caracteristica metalului si  $\Theta_D$  este temperatura Debye.

La temperaturi ridicate mecanismul de imprastiere dominant pot fi imprastierile pe fononi unde  $\rho(T) \propto T$

3. Imprastiere pe defecte – intr-un semiconductor dislocatiile/defectele sunt numeroase.

Acestea sunt incarcate pozitiv capturand electronii din banda de conductie (cazul semiconductorilor de tip n). Astfel, in jurul defectelor, se formeaza o regiune incarcata negativ ce imprastie electronii ce traverseaza defectul, reducand in acest fel mobilitatea.

4. Imprastierea de la interfata grauntilor cristalni.

Filmul policristalin de ZnO este compus dintr-o multitudine de cristalite cu orientari diferite lipite intre ele. Regiunea de granita dintre cristalite prezinta defecte de retea ce induc stari de captare/trapping pentru electroni. O bariera de potential se formeaza de-a lungul zonei de tranzitie impiedicand trecerea electronilor de la un cristalit la altul.

Acest tip de imprastiere devine semnificativa daca marimea zonei de interfata este comparabila cu marimea cristalitelor sistemului.

Petritz a creeat un model in care a determinat cantitativ influenta imprastierii la interfata grauntilor cristalini asupra mobilitatii:

$$\mu_g = AT^{-1/2} \exp[-(eV_B/kT)] \quad (\text{ec. 88})$$

Unde  $V_B$  este potentialul barierei dintre cristalite,

$$A = \frac{el}{(2\pi m^* k)^{1/2}} \quad (\text{ec. 89})$$

Pentru filme de oxid foarte rezistive, mecanismul principal de imprastiere este cel de la interfata cristalitelor, unde,  $V_B$  ia valori foarte mari (0,6-1,2 eV).

Pentru semiconductoarele degenerate, valoarea  $V_B$  este calculata utilizand si expresia urmatoare (statistica Fermi-Dirac se aplica):

$$\mu_g = BT^{-1} \exp\left(-\frac{eV_a}{kT}\right) \quad (\text{ec. 90})$$

Unde  $V_a$  este energia de activare,  $V_a=V_B-(E_F-E_c)$  [14]

### **3.3 Metoda de depunere**

Straturile subtiri de oxid de zinc au fost obtinute prin tehnica de depunere cu fascicul pulsat de electroni (PED - Pulsed Electron Beam Deposition).

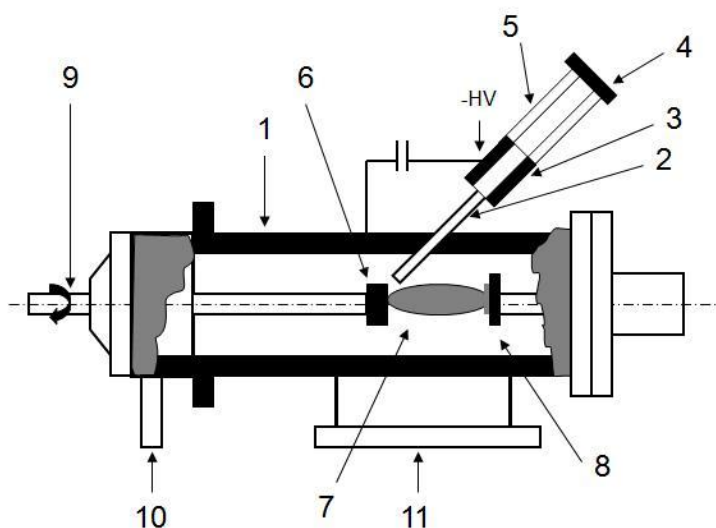
Filme de ZnO pot fi depuse prin mai multe metode : depunere chimica, magnetron, sol-gel, evaporare in vid, sol-gel, etc. Aceste tehnici necesita fie o temperatura ridicata a substratului (300 -500 °C) in timpul depunerii, fie un tratament termic postdepunere la 400-700 °C. Ablatia cu fascicul pulsat (laser ns sau fascicul de electroni) prezinta un numar de avantaje in raport cu tehnicile de depunere mentionate anterior. Filmele subtiri obtinute prin ablatie pot cristaliza la temperaturi ale substratului mai mici datorita energiei cinetice relativ mari (10-100 eV) [ 3] a speciilor ionizate sau neutre din plasma de ablatie.

Fasciculul pulsat de electroni are o durata de aproximativ 100 ns, un curent de fascicul de electroni de ~ 1000 A si o tensiune de descarcare de ~ 15keV. Distanta de patrundere in tinta a fasciculului de electroni este de unul sau mai multi microni, in functie de materialul tintei. In urma acestui interactie electroni-tinta, materialul din tinta se evapora rapid fiind transformat in plasma, structurile subtiri formandu-se in urma condensarii speciilor din plasma pe substrat [1-3]. Timpul foarte scurt de interactie faciliteaza obtinerea unor filme cu o compozitie stoichiometrica.

In contrast cu tehnicile de depunere conventionale precum evaporarea cu fascicul continuu de electroni, sistemele pulsante (fascicul laser ns sau de electroni) au ca principal avantaj capacitatea de a genera o densitate foarte mare de putere, de aproximativ  $10^8 \text{W/cm}^2$ , pe suprafata tintei. Ca rezultat, procesul de evaporare devine independent de proprietatile termodinamice ale materialului component tintei, precum punctul de topire si caldura specifica. Acest lucru este in particular avantajos in cazul materialelor stoichiometrie complexa (cu doua sau mai multe componente; ex. YBCO,  $\text{Ba}_{0.5}\text{Sr}_{0.5}\text{O}_3$ ).

Spre deosebire de metoda depunerii cu fascicul laser pulsat (PLD), unde procesul de ablatie depinde critic de coeficientul de absorbtie al materialului din tinta, fiind dificil de ablat materiale cu banda interzisa mare sau transparente la radiatia laser, in cazul metodei de depunere PED, natura interactiei cu tinta este diferita, ablatia depinzand doar de adancimea de patrundere a electronilor in tinta. De asemenea, ablatia cu fascicul pulsat de electroni prezinta un alt avantaj important in raport cu ablatia cu fascicul pulsat laser, lipsa particulelor de ordinul micronilor-zecilor de microni de la suprafata filmelor subtiri chiar in cazul materialelor transparente si conductoare, cu banda interzisa mare [3].

Instalatia de depunere PED este descrisa in figura de mai jos:



*Figură 16. Instalatia PED; 1- camera de ablatie ; 2- tub capilar; 3- catod; 4, 5- sistem de electrod auxiliar; 6- tinta; 7- plasma de ablatie; 8- substrat; 9- suportul rotitor al tintei; 10- introducere gaz de lucru; 11- flansa catre sistemului de vid/pompare*

Filmele de ZnO au fost depuse pe substrat transparent de safir ( $\text{Al}_2\text{O}_3$ ) monocristalin taiat pe directia c. Temperatura substratului in situ a fost 250 °C, 350 °C, 450 °C si 500 °C. Substratul de  $\text{Al}_2\text{O}_3$  a fost asezat la aproximativ 4 cm de tinta, paralel cu aceasta. Tinta de ZnO a fost rotita pentru a obtine o erodare uniforma a suprafetei acestaia. Gazul de lucru a fost argon, la o presiune de lucru de  $10^{-2}$  mbar (echivalent cu aprox 10-5 presiune in oxigen). Tensiunea de descarcare a fost de 15 kV cu frecventa de repetitie de 1Hz.

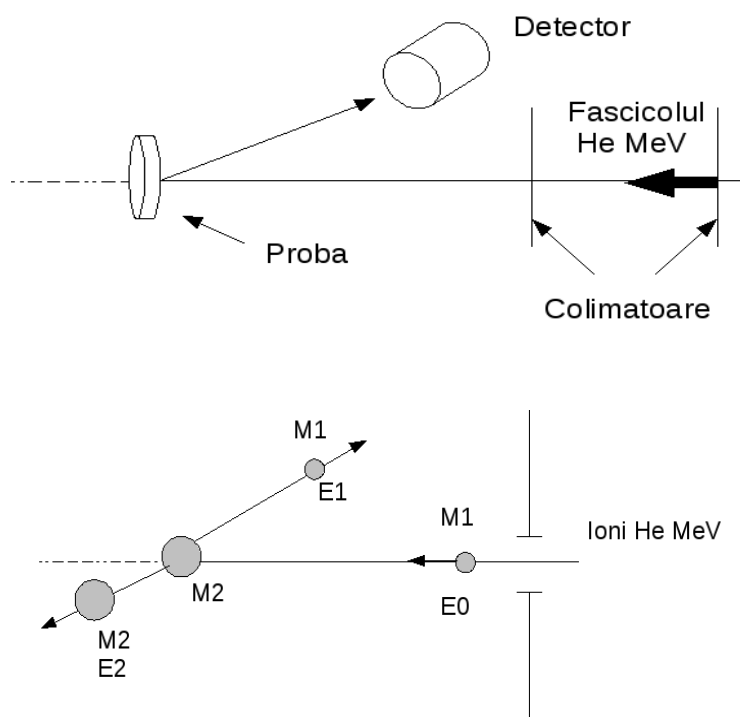
### 3.4 Metode de investigare

#### 3.4.1. Rutherford Backscattering Spectrometry (RBS)

Filmele de ZnO obtinute prin depunere cu fascicol pulsat de electroni au fost analizate cu ajutorul unui accelerator 2MeV Van de Graaff de la “*Institut des Nanoscience de Paris (Université Paris 6)*”.

Folosind tehnica RBS am putut obtine informatii despre grosimea, rugozitatea si stoichiometria structurilor depuse cat si despre interfata substrat-film.

Metoda de analiza RBS se bazeaza pe procesul clasic de imprastiere in camp de forte centrale. Investigarea filmelor subtiri se face cu ajutorul unui fascicul de particule monoenergetice (ioni de He cu energii de ordinul MeV) care in urma interactiei (guvernata de repulsia Coulombiana) cu atomii materialului studiat sunt retroimprastiati si apoi detectati de un sistem ce poate masura energia fiecarei particule retroimprastiate. In procesul de ciocnire, o parte din energia particulei incidente este transferata atomului tinta; fractiunea de energie pierduta depinde de masa atomului tinta; in acest mod se pot identifica tipul si numarul atomilor din filmul studiat.



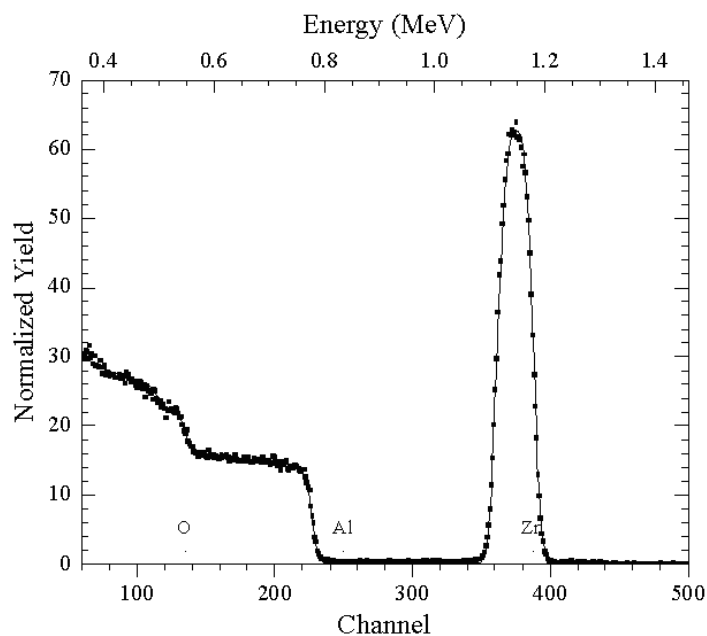
Figură 17. Principiul investigarii RBS.

$$\frac{1}{2}M_1v^2 = \frac{1}{2}M_1v_1^2 + \frac{1}{2}M_1v_2^2$$

Posibilitatea de a distinge intre atomi cu mase similare depinde doar de rezolutia specifica sistemului de detectie. Detectorii de particule nucleare functioneaza prin colectarea perechilor electron-gol create de particulele incidente. Semnalul de la detector este transformat in pulsuri de tensiune. Intensitatea pulsurilor este proportionala cu energia particolelor incidente.

Folosind particule de  ${}^4\text{He}$  cu 2.0 MeV se pot indentifica isotopi cu mase de aproximativ 40. Pentru atomi-tinta cu mase apropiate de 200 rezolutia de masa este aproximativ 20 ceea ce inseamna ca aceasta metoda nu poate distinge intre  ${}^{181}\text{Ta}$  si  ${}^{201}\text{Hg}$ .

Pentru investigarea structurilor de ZnO s-a folosit un fascicol de ioni de  ${}^4\text{He}^{++}$  cu energia de 1.8MeV si 100nA. Prelucrarea datelor s-a facut cu ajutorul unui programului “RUMP”.



*Figură 18. Spetrul RBS pentru proba ZnO depusa la 350 °C.*

In urma analizei spectrului RBS au fost indentificate compozitia si grosimea filmelor depuse. S-a observat ca toate filmele depuse sunt cvasi-stoichiometrice avand grosimea de 110 nm, respectiv 90 nm.

*Tabel 1 Rezultatele analizei spectrelor de RBS*

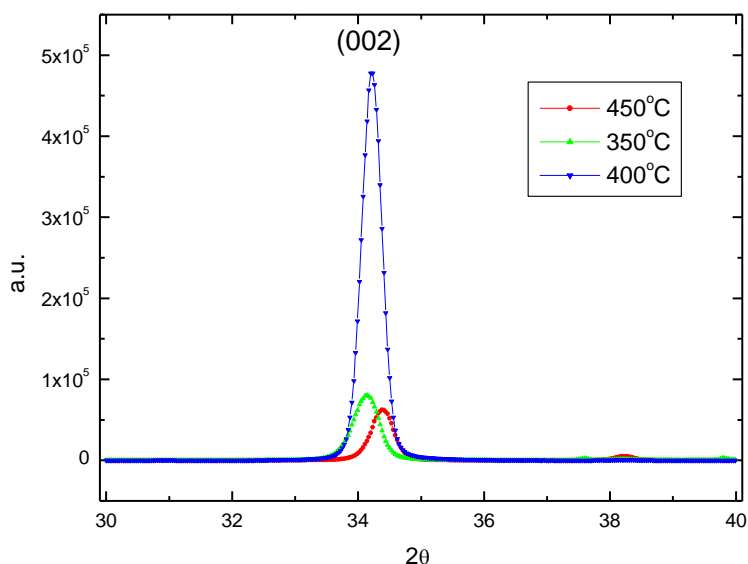
Nr. crt	Temperatura depunere	Material	Grosime
1	250°C	ZnO	110 nm
2	350°C	ZnO	90 nm

### 3.4.2. Difractie de raze X (XRD)

Pentru filmele de ZnO/safir depuse la 350 °C, 400 °C, 450 °C si 500 °C s-a facut o analiza Williamson-Hall. Acest tip de plotare a fost introdusa pentru a distinge intre efectele de dimensiune si cele datorate tensiunilor prezente in structura analizata. Largirea picurilor de difractie datorata tensiunii din reteaua cristalina,  $e$ , variaza liniar cu  $S_0 = \frac{1}{d}$  unde  $d$  este distanta interplanara. Largimea picurilor cauzata de lungimea de coerenta cristalina este constanta, fiind egala cu  $\varepsilon^{-1}$ , unde  $\varepsilon$  este lungimea de coerenta cristalina pe directia  $S_0$ . Considerand ca profilul liniilor datorate tensiunii in retea si lungimii de coerenta este Lorentzian si ca largimile picurilor sunt exprimate  $2\theta$ , atunci:

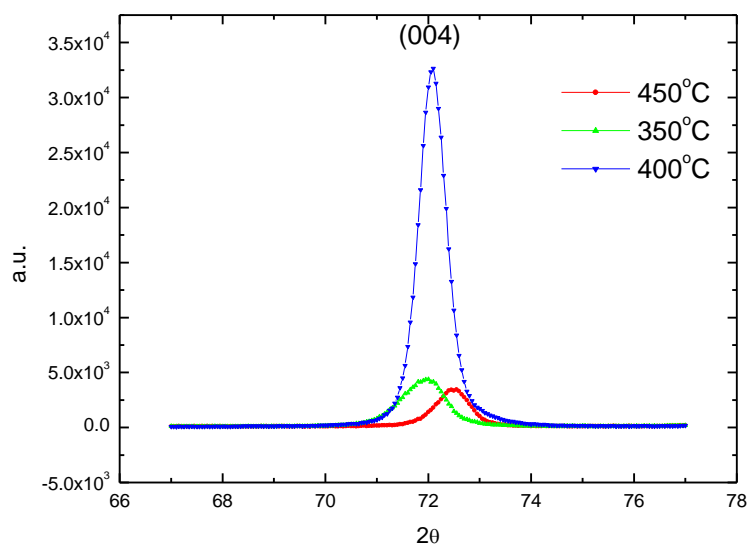
$$\beta \cos(\theta) = \lambda / \varepsilon + 4\sqrt{\pi/2}e \sin(\theta) \quad (\text{ec. 91})$$

Unde  $\beta$  este largimea intergala corectata de largimea instrumentală iar  $\lambda$  este lungimea de unda pentru Cu-K<sub>α1</sub>.



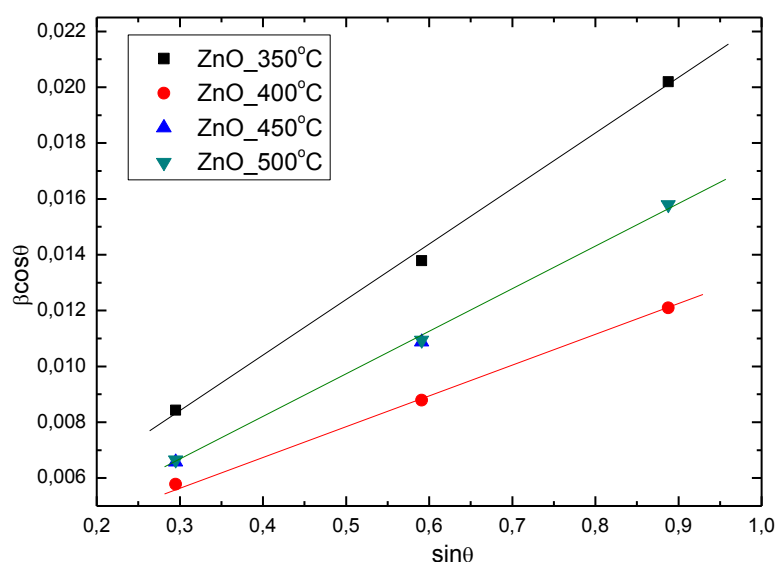
Figură 19. Picul (002) pentru filmele de ZnO depuse la 350 °C, 400 °C, 450 °C.

Picul (002) in cristalul de ZnO masiv apare la 34.422 grade (2theta). La acest unghi este prezent picul (002) al filmului depus la 450 °C. Cum se poate observa din figura 10 picurile (002) corespunzatoare filmelor depuse la 350 °C si 400 °C sunt deviate cu 0.3 grade respectiv 0.2 grade inspre unghiuri mai mici. Acest lucru este datorat tensiunilor din film ce apar in timpul depunerii.



*Figură 20. Picul (004) pentru filmele de ZnO depuse la 350 °C, 400 °C, 450 °C.*

Acelasi lucru poate fi observat si in cazul picului (004). Acesta apare la 72.56 grade in cristalul oxid de zinc masiv. In acest caz picurile (004) pentru probele obtinute la 350 °C si 400 °C sunt deviate cu 0.6 grade respectiv 0.4 grade spre unghiuri mai mici. Tensiunea din filmele depuse a fost calculata prin metoda Williamson-Hall, valorile acesteia fiind prezentate in tabelul de mai jos.

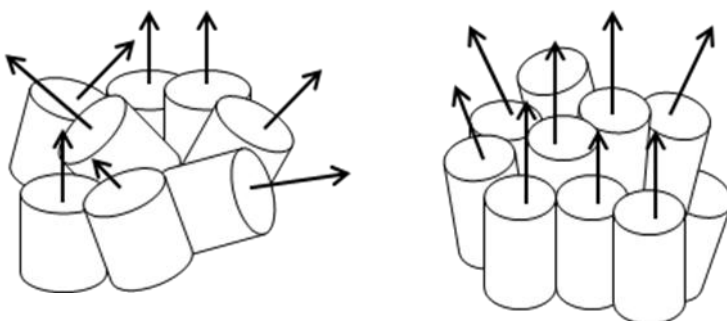


*Figură 21. Analiza Williamson-Hall.*

Tabel 2 Rezultatele analizei Williamson-Hall

Temperatura de depunere	Lungimea medie de coerenta cristalina	Tensiunea
350 °C	642 Å	0.00395
400 °C	597 Å	0.00213
450 °C	770 Å	0.00279
500 °C	774 Å	0.00307

Cum proprietatile filmelor sunt strâns legate de gradul de texturarea lor, este important ca aceasta să fie analizată. În acest scop există mai multe tehnici de investigare cum ar fi „curba rocking” și figurile de pol. Prima metodă nu necesită un echipament foarte sofisticat și este rapidă și ușor de efectuat. În schimb, figurile de pol necesită un echipament sofisticat, un timp de achiziție îndelungat însă furnizează informații complete despre textura materialului studiat. Figura de pol este o proiecție bidimensională a unei sfere ipotetice ce înconjoară cristalul (proiecție stereografică). Figurile de pole sunt reprezentări grafice ale variației intensității fasciculului de raze X în funcție de direcțiile din probă.



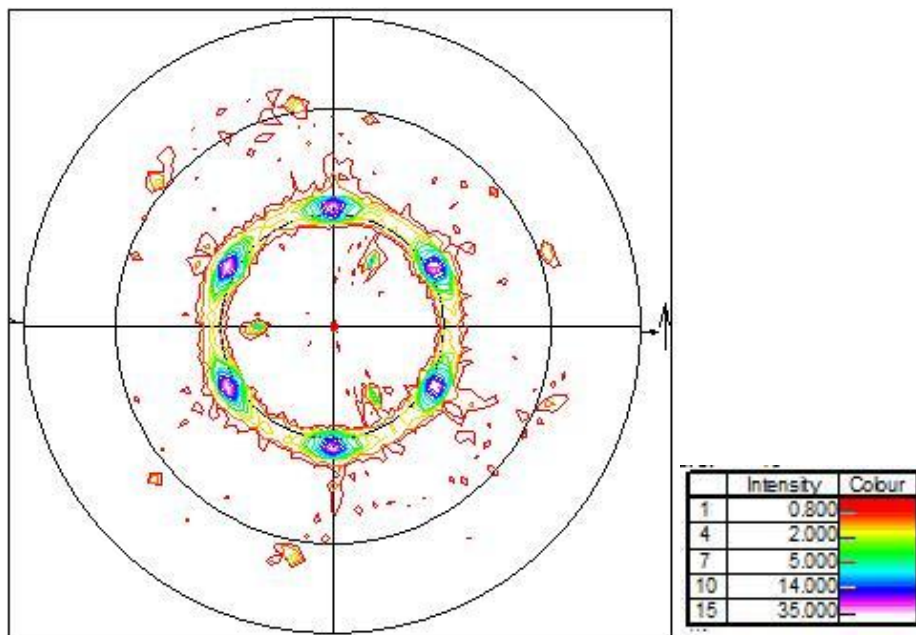
Figură 22. Ilustrare schematică pentru orientarea preferențială. Sagetele indică direcțiile  $hkl$  alese.

Unghiul  $\theta$  este menținut constant, se variază unghiurile  $\phi$  și  $\psi$ . Pentru fiecare pas  $\psi$  se execută o rotație  $\phi$  de 360 grade.

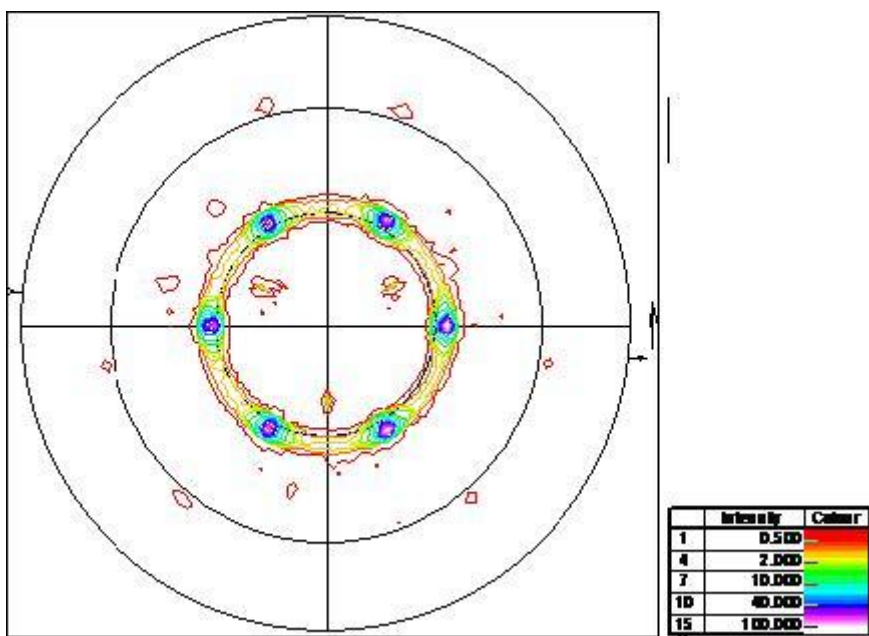
Tabel 3 Parametri de obținere a figurilor de pol

	Psi	Phi
Prima valoare	0	0
Ultima valoare	90	380
Pas	30	90

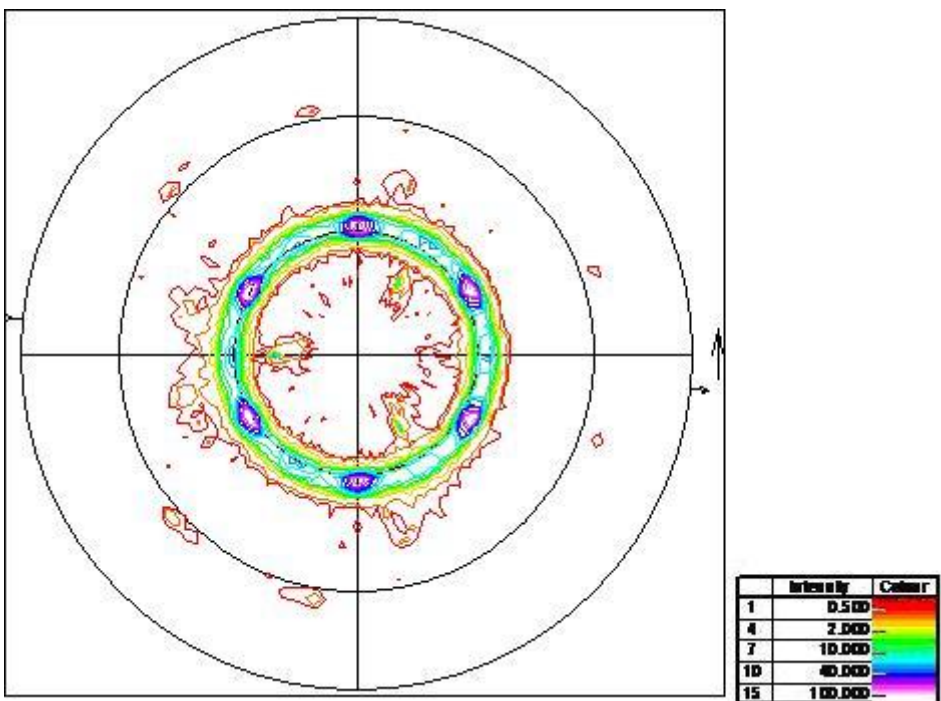
In Fig. 23-26 sunt prezentate figurile de pol ale planului (002),  $2\theta=34.42$  pentru filmele de oxid de zinc depuse la  $350\text{ }^{\circ}\text{C}$ ,  $400\text{ }^{\circ}\text{C}$ ,  $450\text{ }^{\circ}\text{C}$  si  $500\text{ }^{\circ}\text{C}$ . Se pot observa sase poli bine definiti corespunzatori stratului subtire de ZnO, iar in centrul figurilor apar trei poli ce corespunzatori planului (101) al substratului de safir.



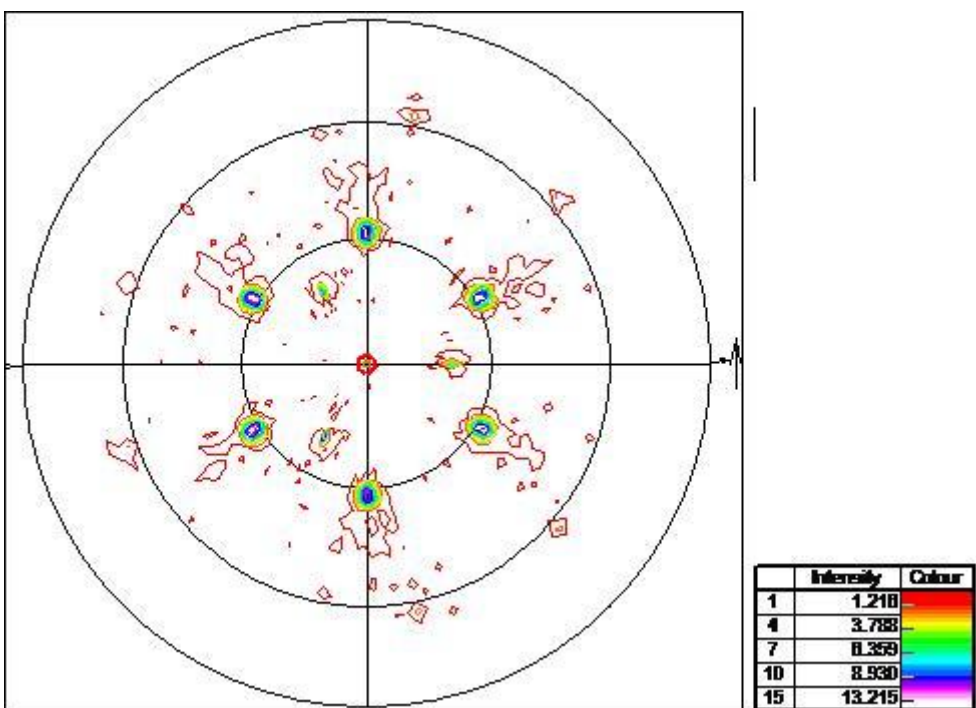
Figură 23. Figura de pol al planului (002) pentru filmul ZnO depus la  $350\text{ }^{\circ}\text{C}$ .



Figură 24. Figura de pol al planului (002) pentru filmul ZnO depus la  $400\text{ }^{\circ}\text{C}$ .



Figură 25. Figura de pol al planului (002) pentru filmul ZnO depus la 450 °C.

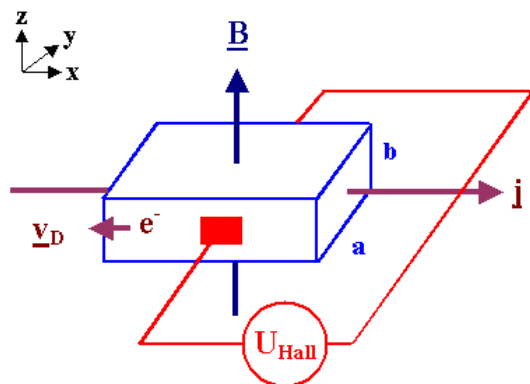


Figură 26. Figura de pol al planului (002) pentru filmul ZnO depus la 500 °C.

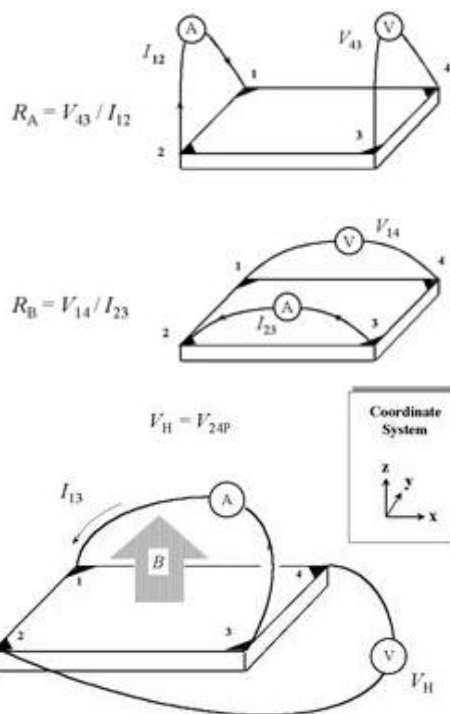
Poli bine definiti indica ca filmele de ZnO depuse la 350 °C, 400 °C, 450 °C si 500 °C prezinta un grad ridicat de cristalinitate fiind epitaxiale.

### 3.4.3. Masuratori electrice

Structurile subtiri de oxid de zinc au fost analizate si din punct de vedere electric. Au fost inregistrate pentru probele depuse la temperatura camerii, 250 °C, 350 °C si 500 °C spectre de rezistivitate in functie de temperatura. De asemenea, au fost efectuate masuratori de effect Hall in urma carora au fost indentificate concentratia de purtatori, tipul acestora si mobilitatea. Domeniul de temperaturi in care s-au facut masuratorile a fost de 4 K – 300 K.

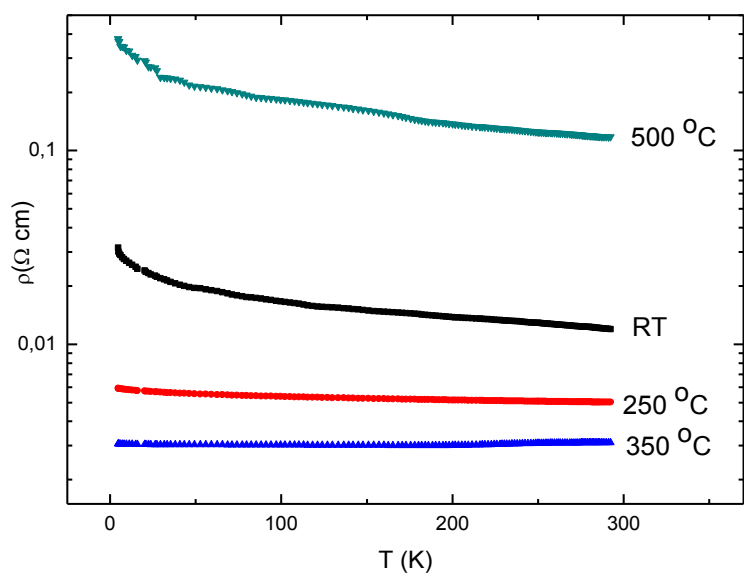


Figură 27 .Efectul Hall.

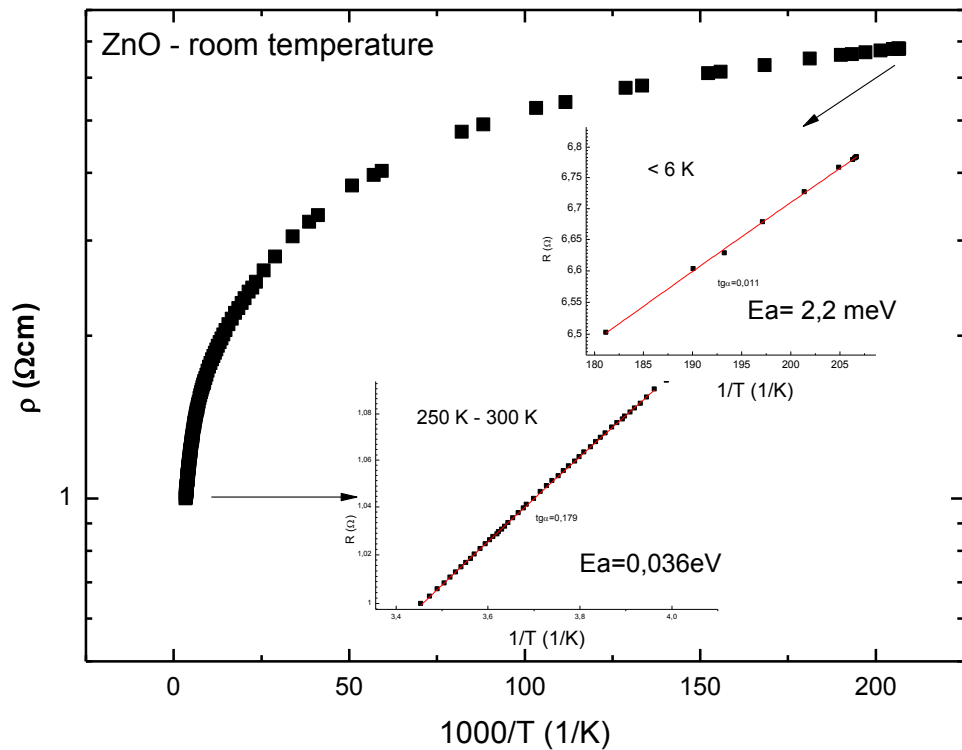


Figură 28. Metoda van der Pauw.

Asa cum poate fi observat din figura de mai jos, filmele depuse la temperatura camerii si la 500 °C au un comportament de tip semiconductor in timp ce probele depuse la 250°C, respective 350 °C au un comportamen de tip metalic.



Figură 29. Spectrele  $\rho(T)$  pentru probele ZnO-temperatura camerii,  $250\text{ }^{\circ}\text{C}$ ,  $350\text{ }^{\circ}\text{C}$ ,  $500\text{ }^{\circ}\text{C}$ .



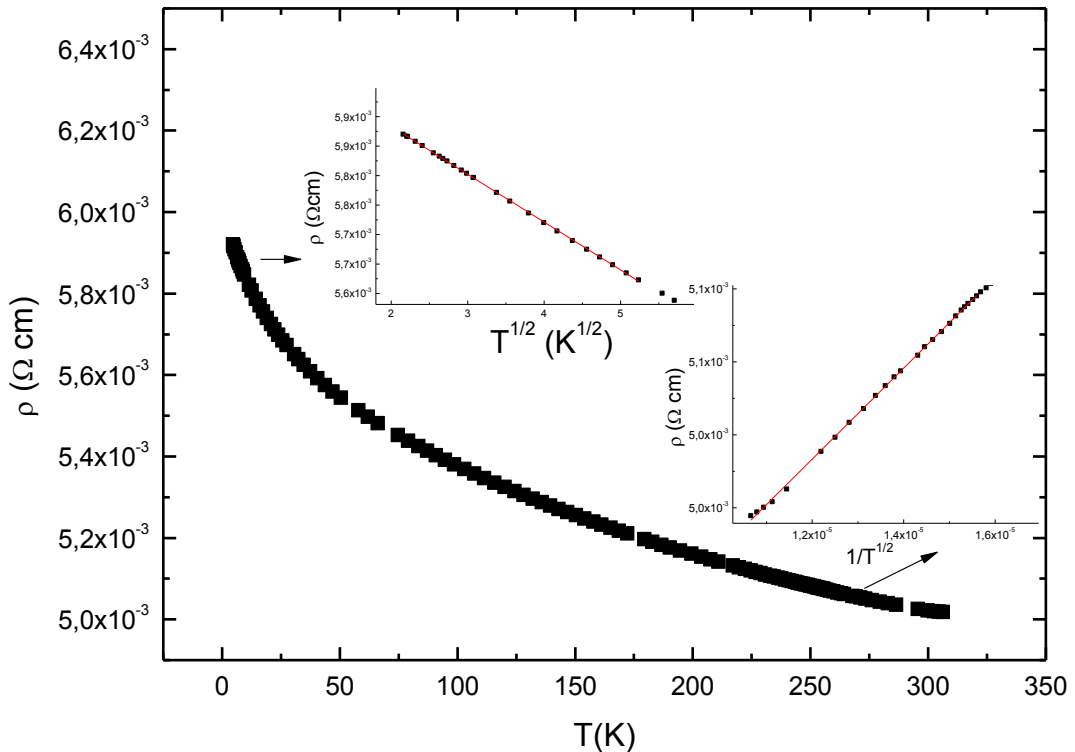
Figură 30. Dependenta resistivitatii de temperatura pentru proba ZnO depusa la temperatura camerei.

Dupa cum se poate observa din spectrul  $\rho(T)$  (figura 30), resistivitatea filmului depus la

$$\text{temperatura camera este activata termic cu } R = R_0 e^{\frac{E_a}{k_B T}}. \quad (\text{ec. 92})$$

La temperaturi mai mici de 20 K transportul este dominat de mecanismul de hopping intre stari ocupate pe stari neocupate cu energii apropiate, energia de activare fiind 2.2 meV. La temperaturi mai mari de 250 K se poate observa ca in aceasta proba exista un singur nivel donor asociat vacantelor de oxigen, energia de activare fiind de 0,036 eV.

In figura 31 este prezentata dependenta rezistivitatii de temperatura pentru proba ZnO depusa la 250 °C. Desi dependenta resistivitatii de temperatura a filmului depus la 250 °C are un aspect de tip semiconductor, aceasta proba nu prezinta un transport de tip activat avand un comportament de tip metalic. Aceasta caracteristica poate fi confirmata si prin dependenta concentratiei numarului de purtatori de temperatura din figura 32. Concentratia de electroni variaza pe un domeniu foarte ingust fiind practic constanta in functie de temperatura.



Figură 31. Dependenta resistivitatii de temperatura pentru proba ZnO depusa la 250 °C.

Dezordinea sistemului este evidențiată prin valoarea produsului  $k_F l = 1.17$ .

$$r_s = \frac{E_e}{E_F} = \frac{\frac{e^2}{4\pi\epsilon_0\epsilon_r n^{-1/3}}}{\frac{\hbar^2 k_F^2}{2m^*}} = 0.6 \quad (\text{ec. 93})$$

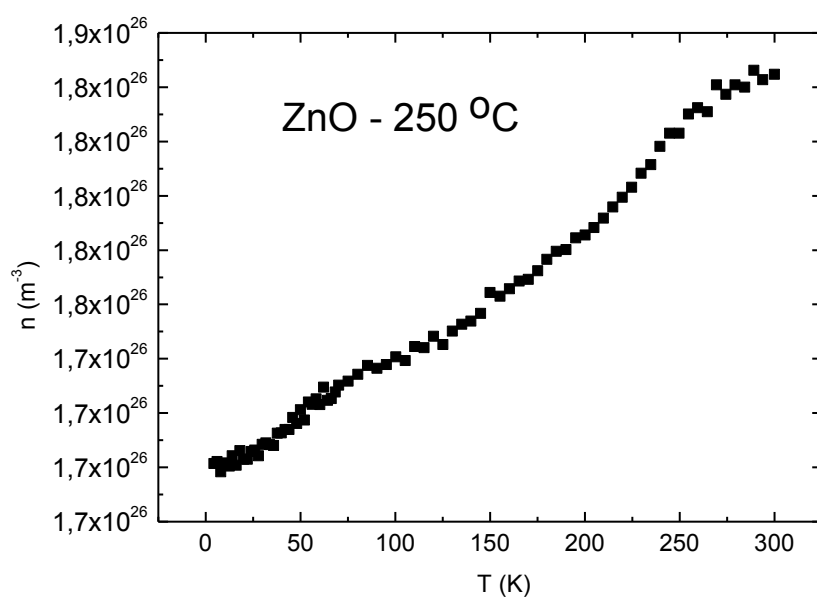
Unde  $\epsilon$  este constanta dielectrică.

Valoarea raportului dintre energia interacției electron-electron,  $E_e$ , și energia Fermi indică faptul că interacția electron-electron este importantă în acest sistem, conferindu-i un pronuntat caracter de lichid Fermi.

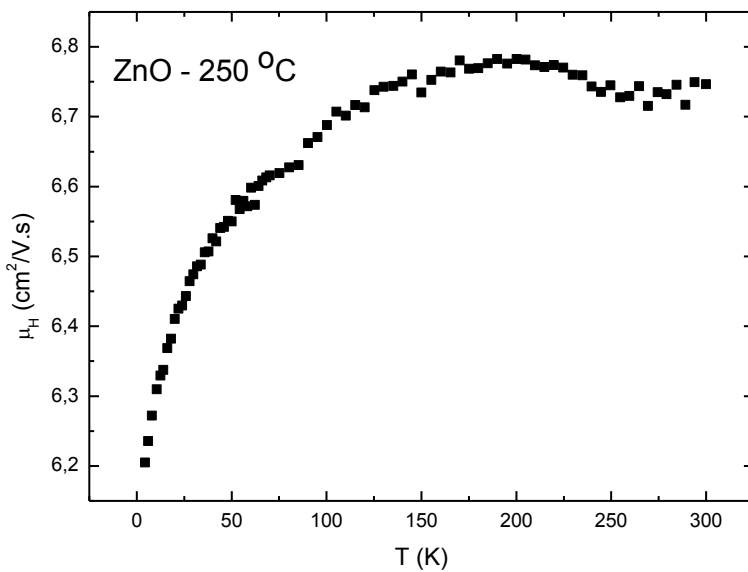
Lichidul Fermi descrie sisteme ce se supun statisticii Fermi în care fiecare electron este înconjurat de un nor de ecranare format din alți electroni, astfel devenind o cvasiparticulă cu o masă efectivă  $m^*$ .

$$N_m = \frac{3}{4\pi a_B^{*3}} = 9.2 \cdot 10^{26} m^{-3} \quad (\text{ec. 95})$$

$N_m$  este concentrația de purtatori, estimată de Mott, de la care sistemul trece într-un comportament metallic. Se poate observa că acest parametru este de același ordin de marime cu concentrația de electroni măsurată experimental.



Figură 32. Concentrația de purtatori de sarcină în funcție de temperatură;  $ZnO\_250\ ^\circ C$ .

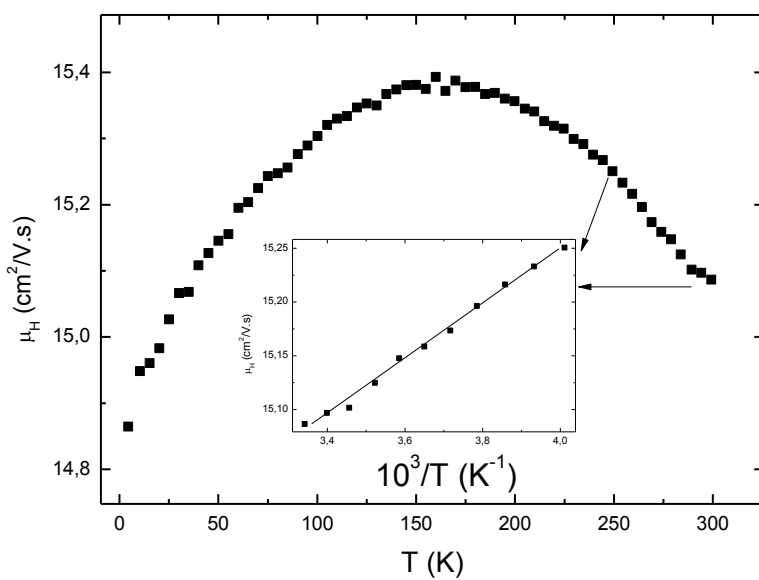


Figură 33. Mobilitatea in functie de temperatura ;  $\text{ZnO}_{-250\text{ }^{\circ}\text{C}}$ .

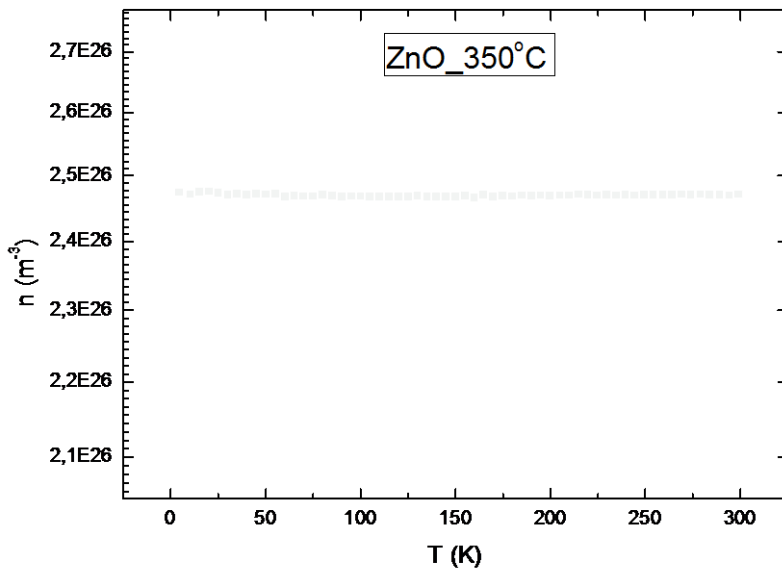
Mobilitatea in domeniul de temperaturi 4 K- 300 K are valori cuprinse intre 6.2 – 6.8  $\text{cm}^2/\text{Vs}$ , consecinta a numarului mare de electroni ce participa la conductie. O mare parte din purtatorii de sarcina sunt datorati vacantelor de oxigen prezente in structura filmului.

Se poate observa din figura 31 ca filmul depus la  $250\text{ }^{\circ}\text{C}$  la temperaturi mai mici decat 10 K are un comportament de tip  $\sigma = \sigma_0 + \left(\frac{e^2}{\pi\hbar}\right) \cdot C \cdot T^{\frac{1}{2}}$  datorat combinatiei dintre interferentele cuantice si interactiile electron-electron in lichide Fermi dezordonate. [4,5,6,7,8,9].

In figura 34 este reprezentata mobilitatea in functie de temperatura pentru filmul depus la  $350\text{ }^{\circ}\text{C}$ . Se poate observa ca la temperature mai mari decat  $250\text{ K}$   $\mu \sim 1/T$ . Astfel putem afirma ca la temperaturi mari imprastierea pe fononi acustici este mecanismul de imprastiere dominant.

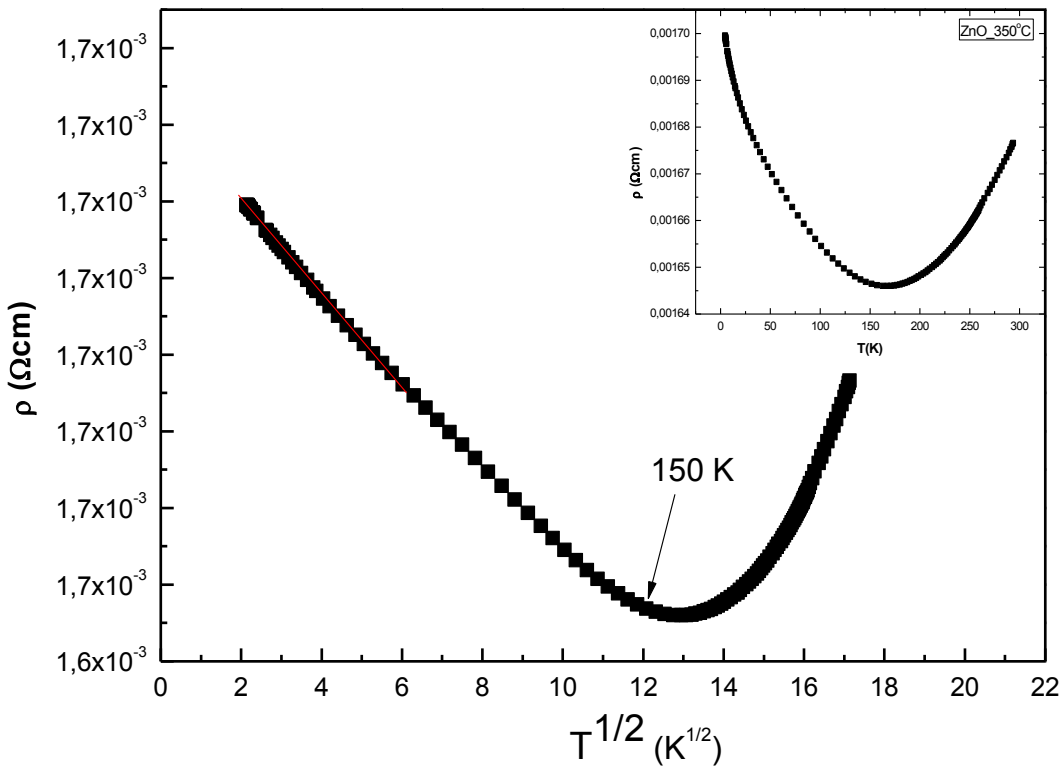


Figură 34. Mobilitate în funcție de temperatură pentru filmul ZnO depus la  $350^{\circ}\text{C}$ .



Figură 35. Concentratia de purtatori în funcție de temperatură pentru filmul de ZnO depus la  $350^{\circ}\text{C}$ .

Ca și în cazul filmului depus la  $250^{\circ}\text{C}$ , concentrația de electroni este de același ordin de marime cu  $N_m$ . Dependenta concentrației de electroni de temperatura prezentată în figura 35 poate evidenția un comportament metalic al sistemului.



Figură 36. Dependenta resistivitatii in functie de temperatura pentru proba ZnO depusa la 350 °C.

In cazul probei depuse la 350 °C raportul  $k_{FL} = 3.55$  indicand ca acest film este mai putin dezordonat decat cel depus la 250 °C. De asemenea, valoarea parametrului  $r_s$  evidențiaza faptul ca si in aceasta structura o foarte mare importanta o au interactiile electron-electron. Acestea pot fi interpretate ca difractia unei unde electronice datorita oscilatiilor potentialului electrostatic generat de ceilalți electroni.

$$r_s = \frac{E_e}{E_F} = \frac{\frac{e^2}{4\pi\epsilon_0\epsilon_r n^{-1/3}}}{\frac{\hbar^2 k_F^2}{2m^*}} = 0.54 \quad (\text{ec.96})$$

$$N_m = \frac{3}{4\pi a_B^{*3}} = 8.9 \cdot 10^{26} m^{-3} \quad (\text{ec.97})$$

Din figura 36 se poate observa ca pentru temperaturi mai mici decat 150 K dependenta conductivitatii de temperatura respecta urmatoarea forma:

$$\rho \approx T^{1/2} \quad (\text{ec.98})$$

Acest tip de dependenta poate fi asociata mecanismului de imprastiere electron-electron.

## **4. Concluzii**

Rezultatele teoretice si experimentale din ultimul deceniu indica posibilitatea existentei unei tranzitii metal – semiconductor in sisteme electronice q-2D. Ingredientele esentiale unei astfel de tranzitii sunt dezordinea si interactia electron-electron.

Au fost obtinute cu succes filme de oxid de zinc prin metoda de depunere cu fascicul pulsat de electroni.

In urma analizei rezultatelor experimentale obtinute in urma masuratorilor R(T) si efect Hall a fost evidentiata influenta temperaturii de depunere asupra proprietatiilor de transport a structurilor studiate. Filmele depuse la temperatura camerii si la 500°C au un caracter de tip semiconductor, in timp ce structurile obtinute la 250°C, respectiv la 350°C au un comportament metalic. La temperaturi joase pentru probele depuse la 250°C si 350°C interactia electron-electron este mecanismul predominant, transportul fiind de tip lichid Fermi metallic.

## 5. Bibliografie

- [1] *G. Müller, M. Konijnenberg , G. Krafft and C. Schultheiss, in: F.C. Matacotta, G. Ottaviani (Eds.), Science and Technology of Thin Films, World Scientific Publ. Co. PET. LTD (1995)*
- [2] *R.J. Choudhary, S.B. Ogale, S.R. Shinde, V.N. Kulkarni, T. Venkatesan, K.S. Harshavardhan, M. Strikovski and B. Hannoyer, Appl. Phys. Lett. 84 (2004) 1483.*
- [3] *M. Nistor, N.B. Mandache, J. Perrière, J. Phys. D: Appl. Phys. 41 (2008) 165205.*
- [4] *Al'tshuler, B.L., Aronov, A.G., Gershenson, M.E. & Sharvin, Yu.V. Quantum effects in disordered metal films. Sov. Sci. Rev. A Phys. 9, 223-354 (1987).*
- [5] *Lee, P.A. & Ramakrishnan, T.V. Disordered electron systems. Rev. Mod. Phys. 57, 287-337 (1985).*
- [6] *DiTusa, J.F. et al., Metal-insulator transitions in the Kondo insulator FeSi and classic semiconductors are similar. Phys. Rev. Lett. 78, 2831-2834 (1997).*
- [7] *DiTusa, J.F. et al., Heavy fermion metal Kondo insulator transition in FeSi<sub>1-x</sub>Al<sub>x</sub>. Phys. Rev. B. 58, 10288-102301 (1998).*
- [8] *Manyala, N. et al. Magnetoresistance from quantum interference effects in ferromagnets. Nature 404, 581-584 (2000).*
- [9] *Rosenbaum, T.F., et al., Metal-insulator transition in a doped semiconductor. Phys. Rev. B. 27, 7509-7523 (1983).*
- [10] *B.I. Shklovskii, A.L. Efros, Electronic Properties of Doped Semiconductors, Ed. Springer-Verlag Berlin Heidelberg New York Tokyo 1984.*
- [11] *D.J. Thouless, Electrons in disordered systems and theory of localization, Physics Reports, Vol. 13, issue 3, pg. 93-142, 1974*
- [12] *Suprino Datta, Electronic Transport in Mesoscopic Systems, Cambridge University Press, 1995*
- [13] *U.Ozgur, Ya. I. Alivov, C. Liu, A. Teke, M.A. Reschchikov, S. Dogan, V. Avrutin, S. J. Cho, H. Morkoc, A compresive review of ZnO materials and devices, Jounal of Applied Physics 98, 041301, 2005*
- [14] *D.H.Zhang, H.L. Ma, Scattering mechanism of charge carriers in transparent conducting oxide films, J.Appl. Phys. A 62, 487-492, 1996*

### **Listă Figuri:**

Figură 1 a) drumul liber mediu (stari extinse); b) lungimea de localizare (stari localizate).....	8
Figură 2 Modelul Anderson. Gropile de potential.....	8
Figură 3 Distributia desitatiilor de stari in functie de energie .....	10
Figură 4 MOSFET de tip n (Metal-Oxid-Semiconductor-Tranzistor cu efect de camp) in sectiune.....	11
Figură 5 Ilustrarea schematica a pragului de mobilitate, $E_c$ , ce separa starile localizate de cele delocalizate.....	12
Figură 6 Functia de scala.....	15
Figură 7 Unda electronului ce trece prin un mediu dezordonat ce contine centri de imprastiere elastica. Unda unui singur electron din pozitia O este impartita intr-un numar de unde partiale $\psi_j$ , fiecare urmand un drum bine definit, $p_j$ , ajung in pozitia R cu un coefficient de trasmisie $t_j$ . Faza $\phi_j$ cu care electronul ajunge in punctul R depinde de lungimea drumului efectuat ce difera de oricare alt drum. ....	18
Figură 8 Unda unui electron ce porneste din punctul 0 si undele sale partiale. Linia continua reprezinta drumul din punctul 0 in punctul final 7. Linia intrerupta indica drumul ce permite electronului sa se intoarcă in pozitia sa initiala, 0. ....	19
Figură 9 Unda plana a unui electron retroimprastiata coherent. A-punctul incident. 1 si 2 imprastieri elastic. In punctul B frontul de unda pleaca in urma imprastierii sub unghiul $-\delta$ fata de fascicul incident; similar, frontul de unda pleaca sub unghiul $+\delta$ din punctul C.....	20
Figură 10 Tranzistor cu efect de camp.....	21
Figură 11 Schita tranzistor .....	21
Figură 12 Un dispozitiv cu transport coherent poate fi caracterizat cu ajutorul unei matrici de imprastiere. ....	23
Figură 13 Traiectorie tipica ce contribuie la efectul de localizare slaba permitand electronului sa se intoarcă in pozitia sa initiala .....	29
Figură 14 (a) structura cubica NaCl, (b) blenda de zinc, (c) wurtzite (B4); sferele gri reprezinta atomii de Zn, sferele negre reprezinta atomii de oxigen.....	31
Figură 15 Reprezentare schematica a unei structure de ZnO wurtzit .....	32
Figură 16 Instalatia PED; 1- camera de ablatie ; 2- tub capilar; 3- catod; 4, 5- sistem de electrod auxiliar; 6- tinta; 7- plasma de ablatie; 8- substrat; 9- suportul rotitor al tintei; 10- introducere gaz de lucru; 11- flansa catre sistemului de vid/pompare .....	36
Figură 17 Principiul investigarii RBS .....	37
Figură 18 Spectrul RBS pentru proba ZnO depusa la 350 °C.....	38
Figură 19 Picul (002) pentru filmele de ZnO depuse la 350 °C, 400 °C, 450 °C.....	39
Figură 20 Picul (004) pentru filmele de ZnO depuse la 350 °C, 400 °C, 450 °C.....	40
Figură 21 Analiza Williamson-Hall. ....	40
Figură 22 Ilustrare schematica pentru orientarea preferential. Sagetile indica directiile hkl alese.....	41
Figură 24 Figura de pol pentru filmul ZnO depus la 400 °C .....	42
Figură 23 Figura de pol pentru filmul ZnO depus la 350 °C .....	42
Figură 25 Figura de pol pentru filmul ZnO depus la 400 °C .....	43
Figură 26 Figura de pol pentru filmul ZnO depus la 500 °C .....	43
Figură 27 Efectul Hall.....	44
Figură 28 Metoda van der Pauw .....	44
Figură 30 Dependența resistivitatii de temperatura pentru proba ZnO depusa la temperatura camerei .....	45
Figură 29 Spectrele $\rho(T)$ pentru probele ZnO-temperatura camerei, 250 °C, 350 °C, 500 °C.....	45
Figură 31 Dependența resistivitatii de temperatura pentru proba ZnO depusa la 250 °C.....	46
Figură 32 Concentratia de purtatori de sarcina in functie de temperature; ZnO_250 °C .....	47
Figură 33 Mobilitatea in functie de temperatura ; ZnO_250 °C .....	48
Figură 34 Mobilitate in functie de temperature pentru filmul ZnO depus la 350 °C .....	49
Figură 35 Concentratia de purtatori in functie de temperature pentru filmul de ZnO depus la 350 °C .....	49
Figură 36 Dependența resistivitatii in functie de temperatură pentru proba ZnO depusa la 350 °C .....	50

### **Listă Tabele:**

Tabel 1 Rezultatele analizei spectrelor de RBS .....	38
Tabel 2 Rezultatele analizei Williamson-Hall.....	41
Tabel 3 Parametri de obtinere a figurilor de pol.....	41